

## رخساره‌ها، محیط رسوبی و عملکرد فرآیندهای دیاژنی مؤثر بر کیفیت مخزنی سازند آسماری در میدان نفتی رامین

فرشاد بهرامی<sup>۱</sup>، سید رضا موسوی حرمی<sup>۲</sup>، محمد خانه باد<sup>۳</sup>، محمدحسین محمودی قرائی<sup>۴</sup> و رحمت الله صادقی<sup>۵</sup>

۱، ۲، ۳ و ۴ گروه زمین‌شناسی، دانشگاه فردوسی مشهد، مشهد

۵ کارشناس ارشد شرکت ملی مناطق نفت خیز جنوب، اهواز

moussavi@um.ac.ir

دریافت: ۹۳/۹/۱۱ پذیرش: ۹۳/۹/۱۱

### چکیده

هدف از این مطالعه، تفسیر محیط رسوبی و هم‌جنین مهم‌ترین فرآیندهای دیاژنتیکی است که بر کیفیت مخزنی سازند آسماری در چاه‌های شماره ۳ و ۶ میدان نفتی رامین در فروافتادگی دزفول شمالی مؤثر بوده‌اند. بررسی پتروگرافی ۲۶۰ برش نازک تهیه شده از مغزه، منجر به شناسایی ۱۲ رخساره رسوبی نهشته شده در پنج زیرمحیط رسوبی شامل بهنه‌ی جزر و مدی، لاغون، سد، دریای باز و رمپ خارجی شد، که توالی‌های مورد مطالعه تهنشست بر روی یک رمپ کربناته هوموکلینیال را نشان می‌دهد. مطالعات پتروگرافی طیف وسیعی از انواع فرآیندهای دیاژنتیکی را نشان می‌دهد؛ سه فرآیند دولومیتی‌شدن، انحلال و سیمانی‌شدن مهم‌ترین فرآیندهای دیاژنتیکی مؤثر بر ویژگی‌های مخزنی سازند مورد مطالعه هستند. فرآیندهای انحلال و دولومیتی‌شدن با فراوانی بیشتر نسبت به فرآیند سیمانی‌شدن عمدتاً رخساره‌های گل‌پشتیبان و پلوییدی را تحت تأثیر قرار داده و موجب افزایش تخلخل (بیش از ۱۲٪) و تراوایی (بیش از ۱ میلی‌دارسی) و در نتیجه افزایش کیفیت مخزنی شده‌اند. از طرفی دیگر فرآیند سیمانی‌شدن با گسترش کم منجر به کاهش کیفیت مخزنی (تخلخل کمتر از ۱٪)، تراوایی کمتر از ۱٪ میلی‌دارسی و اشباع آب مؤثر بیش از ۶٪ در بعضی از بخش‌های توالی (مخصوصاً در چاه شماره ۳) شده است. به طور کلی رخساره‌های کم‌عمق و عمدتاً گل‌پشتیبان که از فراوانی بیشتری نسبت به سایر رخساره‌ها برخوردارند (با فراوانی حدود ۶٪) و بیشتر تحت تأثیر فرآیندهای انحلال و دولومیتی‌شدن قرار گرفته‌اند نقش مهمی را در افزایش کیفیت مخزنی کربنات‌های مورد مطالعه از سازند آسماری در این میدان ایفا کرده‌اند.

### واژه‌های کلیدی: محیط رسوبی، دیاژنر، کیفیت مخزنی، سازند آسماری، میدان نفتی رامین

### مقدمه

پتروفیزیکی آن‌ها خواهد کرد، که در این تحقیق برای دستیابی به این هدف، توالی‌های رسوبی مخزن آسماری در چاه‌های شماره ۳ و ۶ میدان نفتی رامین مورد مطالعه قرار گرفته است. میدان نفتی رامین با ابعاد تقریبی ۴۰×۴ کیلومتر در فروافتادگی دزفول شمالی و در بین میادین نفتی کوپال، مارون و اهواز به صورت یک تاقدیس کشیده‌ی دارای شبکه ملایم با روند شمال غرب-جنوب شرق واقع شده است (شکل ۱).

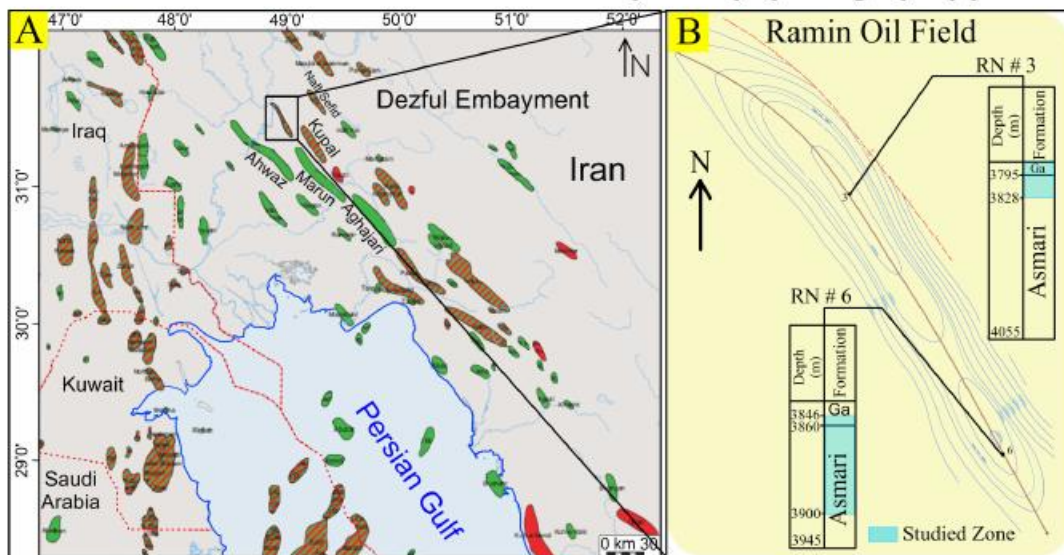
### مواد و روش‌ها

در این مطالعه جهت دستیابی به اهداف تحقیق تعداد ۲۶۰ برش نازک در دسترس از مغزه‌های چاه‌های شماره

از آنجلیکی که ویژگی‌های مخزنی بسیاری از سنگ‌های رسوبی در ارتباط با الگوی توزیع رخساره‌ها است [۲۲]، و با شرایط حاکم بر محیط رسوبی آن‌ها کنترل می‌شود [۱]، یکی از مهم‌ترین اهداف مطالعات رسوب‌شناسی مخازن هیدروکربنی، تعیین رخساره‌ها و تفسیر محیط رسوبی دیرینه آن‌هاست [۲]. از طرفی دیگر دیاژنر یکی از مهم‌ترین فاکتورهای کنترل کننده تولید هیدروکربن در بسیاری از مخزن‌های کربناتی است [۴۰]. در واقع کیفیت مخزنی از طریق واکنش بین ویژگی‌های رسوبی و فرآیندهای دیاژنتیکی کنترل می‌شود [۳۱]. بنابراین بررسی هم‌زمان رخساره‌های رسوبی و فرآیندهای دیاژنتیکی مؤثر بر کیفیت مخزنی کمک شایانی به شناخت هر چه بهتر سنگ‌های مخزنی و خصوصیات

شلager [۳۶] و فلوگل [۱۶] استفاده شده است. در این مطالعه، تفکیک و نام‌گذاری انواع حفرات دیاژنتیکی براساس تقسیم‌بندی لوسیا [۱۷] صورت گرفته است. همچنین جهت بررسی نقش رخساره‌های رسوبی و فرآیندهای دیاژنتیکی در خصوصیات پتروفیزیکی و ارزیابی کیفیت مخزنی از نمودارهای چاه‌پیمانی GR، RHOB و NPHI، PHIE، SWE و RHOA از تراولی مغزه بهره گرفته شده، که جهت رسم آن‌ها از نرم افزار ژنوگ (Geolog® 6.7.1) استفاده شده است.

۳ و ۶ میدان نفتی رامین از سازند آسماری که تعدادی از آن‌ها توسط آلمازارین قرمز به روش دیکسون [۱۰] رنگ‌آمیزی شده است، با میکروسکوپ پلاریزان مورد بررسی‌های پتوفگرافی قرار گرفت. رخساره‌های رسوبی براساس ویژگی‌های رخساره‌ای از قبیل بافت رسوبی، نوع دانه و محتوی فسیلی تعیین شده‌اند. نام‌گذاری رخساره‌های کربناته براساس تقسیم‌بندی دانه‌ام [۱۲] و امیری و کلووان [۱۵] صورت گرفته است. برای تفسیر محیطی رخساره‌ها و تهایتاً تعیین محیط رسوبی سازند مطالعه از رخساره‌های استاندارد ارائه شده توسط



شکل ۱. موقعیت چهارگانی میدان نفتی مورد مطالعه (A): نقشه بیادین نفتی در دشت خوزستان (با تغییرات از اقروی و همکاران [۶]) (B): نقشه ساختاری رأس سازند آسماری در میدان نفتی رامین و موقعیت چاه‌ها و زون‌های مورد مطالعه.

هستند. در بعضی نمونه‌ها این رخساره دارای لامینه‌های نازکی از گل آهکی است (شکل ۱-۲). تفسیر: با توجه به دارا بودن بافت اولیه بلورهای انیدریت و ساخت لایه‌ای این رخساره و نبود فسیل می‌توان بیان کرد که این انیدریتها از نوع اولیه هستند و در یک شرایط با چرخش محدود آب، سوری فوق العاده زیاد و تبخیر شدید در محیط‌های پهنه‌هی چز و مدب و بالای چز و مدب تهییست شده‌اند [۱۹]. رخساره انیدریتی در مدل معرفی شده توسط فلوگل [۱۶] به محیط رسوبی پری‌تایdal نسبت داده شده و در طبقه‌بندی رمپ‌های کربناته توسط پورکت و رایت [۸] چزه رمپ داخلی در نظر گرفته شده است که متعلق به پهنه‌های بالای چز و مدب (سبخا) است.

## بحث

براساس مطالعات پتوفگرافی، رسوب‌شناسی و فسیل‌شناسی پرش نازک، در مجموع ۱۲ رخساره‌ی رسوبی متعلق به پنج کمریند رخساره‌ای در سازند مورد مطالعه شناسایی شده است. توصیف و تفسیر پتوفگرافی، رسوب‌شناسی و محیطی هر یک این رخساره‌ها از ساحل په سمت دریا به شرح زیر است:

### مجموعه رخساره‌ای A (پهنه‌ی چز و مدب)

#### رخساره A1: انیدریت

این رخساره غیرکربناته (تبخیری) است و عمدها در بخش بالای سازند آسماری مشاهده می‌شود. بلورهای انیدریت در این رخساره دارای بافت سوزنی شعاعی و فیبری

رخمنون سطحی، نشان‌دهنده‌ی تشکیل این رخساره در محیط زیر پهنه‌ی چزر و مدي است [۵]. شایینر و همکاران [۳۵] نیز رخساره‌ی مشابه‌ای را به محیط‌های محصور شده و پهنه‌ی چزر و مدي تسبیت داده‌اند.

#### مجموعه رخساره‌ای B (لاگون)

**Rخساره B1: وکستون- پکستون- گربنستون بیوکلاستی پلوییدی:**

این رخساره طیف وسیعی از اجزای اسکلتی را دارا است که تقریباً تمامی اجزای آن به دلیل فرآیند میکریتی شدن، پلوئیدی و در نتیجه غیر قابل شناسایی شده‌اند (شکل ۲-D). از اجزای اسکلتی (میانگین فراوانی ۰/۱۰) قابل شناسایی می‌توان انواع فرامینی‌فرهای پنتیک (میلیولیدها، دندربیتینا، بورلیس، پنروپلیس، اوپرکولینا، نئوآلولولینا، دیسکورپیس و روتالیا)، فرامینی‌فرهای پلانکتون، گاستروپود، برآکیوپود، اکینوئید و جلبک قرمز را نام برد. اجزای غیر اسکلتی نیز فسیل‌های پلوئیدی شده (میانگین فراوانی ۰/۳۰ و اندازه ۰/۱۵ میلی‌متر)، پلت (میانگین فراوانی ۰/۴ و اندازه ۰/۲ میلی‌متر) و کورتوبید هستند. زمینه‌ی این رخساره را میکریت و سیمان‌های مختلفی از قبیل سیمان دولومیتی، انیدریتی و کلسیتی تشکیل می‌دهند. بافت این رخساره عمدهاً پکستونی و تا حدودی وکستونی یا گربنستونی است. از دیگر ویژگی‌های این رخساره حضور انیدریت به صورت سیمان یا بافت‌های مختلف و جانشینی به جای اجزای اسکلتی است.

تفسیر: فراوانی فرامینی‌فرهای بی‌منفذ پورسلاتوز (از قبیل میلیولیدها، دندربیتینا، بورلیس و پنروپلیس) که عمدهاً در زون توری بالایی زندگی می‌کنند، نشانه‌ای از محیط‌های لاگوتی فوق العاده شور محصور شده کم‌عمق است [۳۰]. میکریتی شدن اجزای اسکلتی و همچنین گسترش زیاد سیمان‌های دولومیتی و انیدریتی در این رخساره شواهدی دیگری از شرایط محیطی دریایی محصور شده، کم‌انبوی و یا شوری بالا از قبیل لاگون است [۳۴ و ۳۵].

**Rخساره A2: مادستون تا دولوستون دارای فابریک روزنه‌ای:**

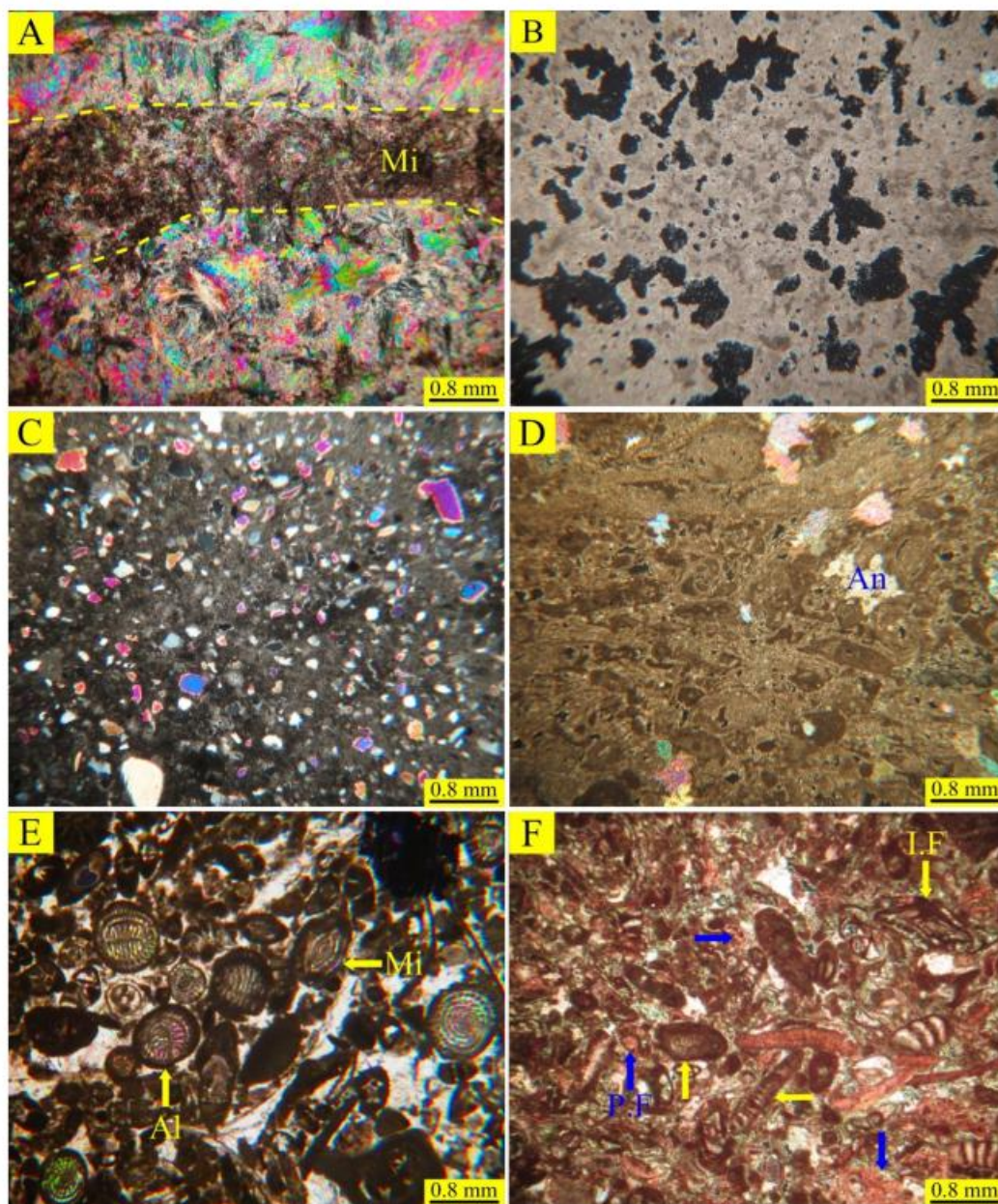
در این رخساره بافت از مادستون تا دولوستون تغییر می‌کند. این رخساره از سنگ‌آهک ریز پلور تشکیل شده است که گاهی پلورهای ریز میکریت به پلورهای درشت‌تر دولومیت تبدیل شده و تشکیل دولوستون را داده‌اند. دولومیت‌ها از نوع ریز پلور بی‌شکل تا نیمه شکل‌دار هستند. ساخت لامینه‌ای و فابریک فنستران از ویژگی‌های این رخساره هستند که در اکثر تموته‌ها قابل مشاهده‌اند (شکل ۲-B). همچنین در این رخساره پلوئیدها و پلورهای پراکنده انیدریت به میزان کمی مشاهده شده‌اند.

تفسیر: دولومیت‌های ریز پلور و دانه‌ریز معمولاً در شورابه‌های تبخیری محیط‌های سیخایی تشکیل شده و قابل مقایسه با دولومیت‌های سیخایی در حوضه خلیج فارس هستند [۴]. فابریک‌های فنستران به طور معمول حاصل انتقاض و انبساط رسوب، حباب‌های گاز، خروج هوا در زمان سیلاب و یا ناشی از فعالیت موجودات بوده که نشان‌دهنده‌ی تشکیل در محیط‌های بالای پهنه‌ی چزر و مدي هستند [۳ و ۳۲] با توجه به این شواهد و همچنین وجود انیدریت اولیه در این رخساره می‌توان محیط آن را پهنه‌ی چزر و مدي و بالای آن و سواحل تبخیری خشک دانست [۱۶ و ۱۷]. این رخساره معادل با رخساره‌های SMF21 و SMF23 و شلاگر RMF22 [۳۶] است.

#### Rخساره A3: مادستون کوارتزدار

این رخساره از گل‌آهکی (میکریت) و دانه‌های آواری کوارتز (میانگین فراوانی ۰/۲۰) با اندازه ماسه‌ریز تا متوسط و جور شدگی نسبتاً خوب و گردش‌دگی زاویه‌دار تا نیمه گردشده تشکیل شده است (شکل C-۲). دانه‌های کوارتز دارای خاموشی موجی و مستقیم هستند. این رخساره تنها در تموته‌های چاه شماره ۶ میدان مورد مطالعه مشاهده شده است، که در شکل ۷ نیز میزان گسترش و موقعیت آن تسبیت به سایر رخساره‌ها مشخص شده است. زمینه‌ی این رخساره در بعضی تموته‌ها به دولومیت تبدیل شده و هیچ‌گونه اجزای اسکلتی و غیر اسکلتی در آن مشاهده نشده است.

تفسیر: شواهدی از قبیل تبود فسیل، بافت غنی از گل، ارتباط عمودی یا رخساره‌های لاگوتی و تبود شواهد



شکل ۲. تصاویر میکروسکوپی رخساره‌های A1 تا B3 (A): رخساره A1 - اندیزیت دارای لامینه‌ی گلی (Mi) (عمر ۳۷۹۷ متری، چاه شماره ۳)، (B): رخساره A2 - مادستون دارای قابویک فنترال (عمر ۳۸۷۸ متری، چاه شماره ۶)، (C): رخساره A3 - مادستون کوارتزدار (عمر ۳۸۸۱/۵ متری، چاه شماره ۶)، (D): رخساره B1 - وکستون - پکستون - گرینستون بیوکلاستی پلوییدی با سیمان دولومیتی و بلورهای برآکنده‌ی اندیزیت (An) (عمر ۳۸۱۵ متری، چاه شماره ۳)، (E): رخساره B2 - گرینستون میلیولیدی (Mi) نتوآلونولین دار (Al) (عمر ۳۷۹۶ متری، چاه شماره ۳) و (F): رخساره B3 - پکستون تا گرینستون حاوی فرامینی فرهای منفذدار (P.F) و بی‌منفذ (I.F) (عمر ۳۸۰۳ متری، چاه شماره ۳).

(میانگین فراوانی ۴٪ و اندازه ۰/۶ میلی‌متر)، دندربیتینا (میانگین فراوانی ۷٪ و اندازه ۱/۳ میلی‌متر)، یولپیدینا (میانگین فراوانی کمتر از ۱٪) و روتالیا (میانگین فراوانی کمتر از ۱٪، پوسته‌های دوکفه‌ای (میانگین فراوانی ۵٪)

رخساره B2: گرینستون حاوی نتوآلونولینا و میلیولید: انواع فرامینی فرهای بنتیک از قبیل نتوآلونولینا (با میانگین فراوانی ۱۵٪ و اندازه ۰/۶ میلی‌متر)، میلیولید

ننواوئولینا و بافت پکستونی تا گرینستونی به تشکیل این رخساره در یک محیط لاغونی نیمه محصور شده‌ی به سمت دریای باز اشاره دارد [۳۰].

**Roxsareh B4: پکستون تا گرینستون دارای فرامینی فرهای بی‌منفذ پلت‌دار:** اجزای اسکلتی اصلی این رخساره فرامینی فرهای بنتیک بی‌منفذ شامل دندربیتینا (میانگین فراوانی ۱۰٪ و اندازه ۱ میلی‌متر)، میلیولیدها (میانگین فراوانی ۷٪ و اندازه ۰/۵ میلی‌متر)، بورلیس ملوکوریدیکا (میانگین فراوانی ۲٪ و اندازه ۰/۵ میلی‌متر)، اوپرکولینا (میانگین فراوانی ۰/۳٪) و اجزای غیر اسکلتی اصلی شامل پلت (میانگین فراوانی ۰/۲٪ و اندازه ۰/۱ میلی‌متر)، پلوئید (میانگین اندازه ۰/۵ میلی‌متر)، کورتوبید و اینترالکلس (مجموعاً یا میانگین فراوانی ۱٪) هستند (شکل A-۳). از اجزای فرعی نیز می‌توان قطعات اکینوئید، دیسکوربیس، برآکیوپود، گاستروپود و استراکود را نام برد (با میانگین فراوانی کمتر از ۰/۵٪). زمینه‌ی این رخساره را میکریت و سیمان کلسیت بلوکی تشکیل می‌دهند. با وجود اینکه اجزای اسکلتی و دانه‌های پلت به طور جداگانه از چورشیدگی خوبی برخوردارند، اما در مجموع رخساره دارای چورشیدگی ضعیفی است.

**تفصیر:** بافت عمده‌ای گرینستونی و فراوانی فرامینی فرهای بی‌منفذ پورسلانوز و پلت در این رخساره نشان‌دهنده‌ی یک محیط کم عمق پرانرژی یا شوری بالا است [۱۷ و ۲۵]. خصوصیات بافتی، تبود کانی‌های تپخیری و فراوانی فرامینی فرهای پورسلانوز، و همچنین دانه‌های پلت و پلوئید و گاهی اینترالکلس به بخش پرانرژی یک لاغون محصور شده نزدیک به محیط‌های پرانرژی پشت سدی اشاره دارد [۱۶ و ۴۱]. رخساره‌ی مشابه‌ای توسط الله‌کرمپور دیل و همکاران [۵] از سازند آسماری در جنوب غربی ایران گزارش شده است.

#### مجموعه رخساره‌ای C (سد)

**Roxsareh C1: پکستون تا گرینستون پلوییدی-بیوکلاستی کوارنزدار:**

از اجزای اسکلتی این رخساره می‌توان فرامینی فرهای بنتیک از قبیل اسقارثوپسینا (میانگین فراوانی ۷/۳۰٪ و اندازه ۱/۳ سانتی‌متر)، میوژپسینا (میانگین فراوانی ۷/۲٪ و اندازه ۱/۴ سانتی‌متر)، و میلیولید (میانگین فراوانی ۷/۴٪ و

و گاستروپود (میانگین فراوانی ۱٪) از اجزای اسکلتی اصلی و قطعات بیوکلاستی میکریتی شده (پلوئید با میانگین فراوانی ۰/۲۰٪ و اندازه ۰/۷ میلی‌متر) و پلت (میانگین فراوانی ۰/۴٪ و اندازه ۰/۰ میلی‌متر) نیز از اجزای غیر اسکلتی اصلی تشکیل دهنده‌ی این رخساره هستند (شکل E-۲). اگرچه ساختار کلی بیشتر از اجزای اسکلتی این رخساره حفظ شده‌اند اما تا حدودی میکریتی شده‌اند و گاهی نیز تحت تأثیر فرآیند انیدریتی شدن قرار گرفته‌اند. سیمان انیدریتی با بافت تمدی زمینه‌ی این رخساره را تشکیل داده است. اجزای تشکیل دهنده‌ی این رخساره چورشیدگی ضعیفی دارند.

**تفصیر:** حضور فرامینی فرهای بی‌منفذ پورسلانوز از قبیل آلوئولینا، میلیولید و دندربیتینا نشان‌دهنده‌ی شرایط محیطی حفاظت شده در آب‌های کم عمق فوق العاده شور است [۱۷ و ۴۴]. وجود مقادیر زیاد قطعات بیوکلاستی میکریتی شده (پلوئیدها) و همچنین زمینه‌ی سیمانی از نوع انیدریتی نیز حاکی از تشکیل این رخساره در آب‌های گرم کم عمق مربوط به محیط‌های لاغونی تا زیر پهنه چزرومدی است [۳۴ و ۳۵].

**Roxsareh C3: پکستون تا گرینستون حاوی**

**فرامینی فرهای منفذدار و بی‌منفذ:** اجزای اصلی تشکیل دهنده‌ی این رخساره فرامینی فرهای بنتیک بی‌منفذ شامل دندربیتینا (میانگین فراوانی ۱۰٪ و اندازه ۰/۹ میلی‌متر)، میلیولیدها (میانگین فراوانی ۱۰٪ و اندازه ۱ میلی‌متر)، ننواوئولینا (میانگین فراوانی کمتر از ۷/۵٪ و اندازه ۱/۶ میلی‌متر) و فرامینی فرهای بنتیک منفذدار شامل اوپرکولینا، دیسکوربیس و روتالیا (میانگین فراوانی ۱۵٪ و اندازه ۰/۴ میلی‌متر) هستند (شکل F-۲). از اجزای فرعی مشاهده شده در این رخساره می‌توان پلویید (میانگین فراوانی ۵٪)، اکینوئید (میانگین فراوانی ۰/۲٪)، برآکیوپود (میانگین فراوانی ۰/۲٪)، گاستروپود (میانگین فراوانی ۱٪) و فرامینی فرهای پلانکتون (میانگین فراوانی ۱٪) را نام برد. میکریت و سیمان کلسیت بلوکی زمینه‌ی این رخساره را تشکیل می‌دهند. اجزای تشکیل دهنده‌ی این رخساره دارای چورشیدگی ضعیف تا متوسط هستند.

**تفصیر:** رخداد هم‌زمان جانواران دریایی عادی مثل روتالیا، دیسکوربیس، فرامینی فرهای پلانکتون، اکینوئید و برآکیوپود با بیوتاتی لاغونی میل دندربیتینا، میلیولیدها و

**رخساره D2: رودستون بیوگلاستی:**

اجزای اصلی تشکیل‌دهنده این رخساره قطعات اسکلتی بزرگی از پوسته‌های دوکفه‌ای‌ها هستند (میانگین فراوانی ۰/۳۰ و اندازه ۰/۷ سانتی‌متر)، که اکثر آن‌ها توسط دولومیت جانشین شده‌اند. از اجزای فرعی می‌توان فرامینی‌فرهای پلانکتون، روتالیا و استراکود را نام برد. زمینه‌ی این رخساره عمدهاً میکریتی است (شکل-۳).  
تفسیر: تجمع قطعات دوکفه‌ای‌ها با یافت رودستونی و زمینه‌ی میکریتی می‌تواند نشان‌دهندهٔ شرایط رسوب‌گذاری در دریای باز باشد [۱۶]. وجود جانداران پلانکتونیک به صورت اجزای فرعی را نیز می‌توان ناشی از ارتباط محیط تشکیل این رخساره با محل زندگی آن‌ها دانست [۴۲].

**مجموعه رخساره‌ای E (رمپ خارجی)****رخساره E1: وکستون اکینوئیدی:**

اصلی‌ترین تشکیل‌دهنده این رخساره قطعات خرد شده‌ی اکینوئید (میانگین فراوانی ۰/۶ و اندازه ۱ میلی‌متر) است (شکل-۳). از اجزای فرعی (با میانگین فراوانی کمتر از ۰/۵) می‌توان پلوئید، فرامینی‌فرهای پلانکتون و پراکیوپود را نام برد.

تفسیر: همراهی فرامینی‌فرهای پلانکتون با قطعات اکینوئیدی در یک زمینه میکریتی با یافت وکستونی حاکی از تشکیل این رخساره در محیط‌های دریایی با شوری عادی به سمت بخش‌های عمیق‌تر رمپ خارجی است [۳۷ و ۴۲].

**رخساره E2: مادستون - وکستون دارای فرامینی‌فرهای پلانکتون:**

انواع فرامینی‌فرهای پلانکتون (با میانگین فراوانی حدود ۰/۵ و اندازه ۰/۲ میلی‌متر) از قبیل گلوبوپرینا و گلوبوروتالیا اجزای اسکلتی اصلی تشکیل‌دهنده این رخساره هستند (شکل-۳). از اجزای فرعی می‌توان بعضی از فرامینی‌فرهای منقدار از قبیل دیسکوریس و روتالیا، اکینوئید را نام برد. در بعضی از تموئنه‌ها، اجزای این رخساره دارای جهت‌گیری تقریباً هستند که باعث ایجاد ساخت لامینه‌ای در مقیاس میکروسکوپی شده‌اند.

تفسیر: فرامینی‌فرهای پلانکتون فراوان در یک زمینه‌ی میکریتی با یافت مادستونی تا وکستونی، وجود ساخت

اندازه ۱ سانتی‌متر)، جلیک قرمز مرجانی (میانگین فراوانی ۰/۴ و اندازه ۰/۴ سانتی‌متر) و خرده‌های اکینوئید (میانگین فراوانی ۰/۱) اشاره کرد. اجزای غیر اسکلتی آن نیز شامل دانه‌های کوارتز آواری (با میانگین فراوانی ۰/۵ و اندازه بین ۰/۱۲-۰/۱۵ میلی‌متر) و پلوئید هستند (شکل-۳). اکثر اجزای اسکلتی تشکیل‌دهنده این رخساره به صورت خرد شده هستند. دانه‌های کوارتز دارای جوره‌شدنی متوسط و گردشدنی نسبتاً خوب هستند. میکریت، سیمان کلسیت پلوکی و سیمان دولومیت شکل‌دار متوسط بلور زمینه‌ی این رخساره را تشکیل می‌دهند.

تفسیر: تجمع فوتای استنتوھالین مریبوط به آب‌های با شوری عادی مانند اسقارئوپسینا، میوپسینا، جلیک قرمز مرجانی و اکینوئید، وجود دانه‌ی کوارتز آواری در اندازه ماسه، خردشدنی اجزای اسکلتی، یافت دانه‌پشتیبان و زمینه میکریتی تا سیمانی نشان‌دهنده تشکیل این رخساره در آب‌های آشته‌ی محیط‌های سدی و دریایی باز کم عمق است [۲۰ و ۴۲].

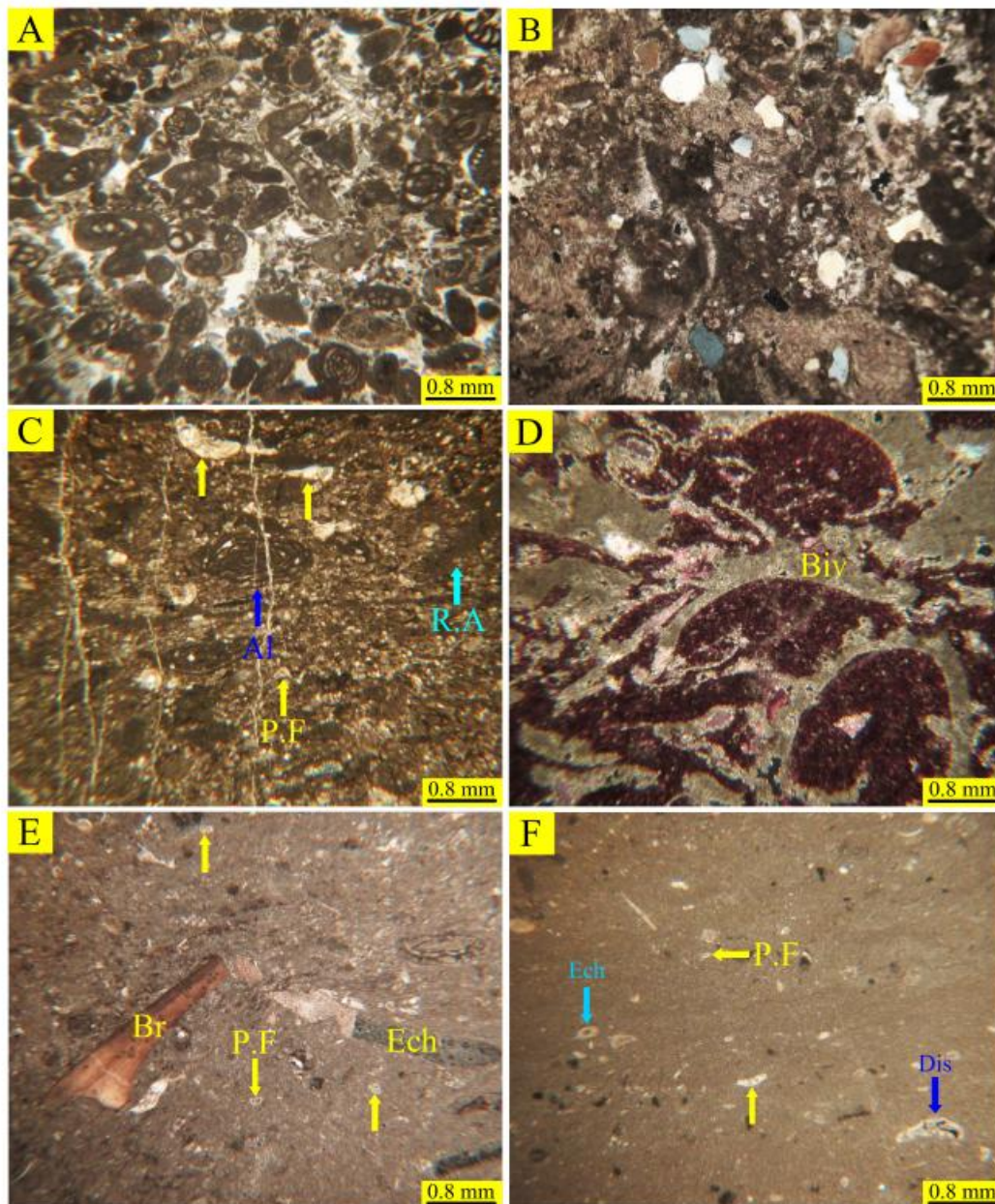
**مجموعه رخساره‌ای D (دریای باز)**

**رخساره D1 وکستون - پکستون دارای فرامینیفرهای پلانکتون، جلبک قرمز و نئواآلولینا:** حضور هم‌زمان جانداران کفزی و شناور ویژگی اصلی این رخساره است. جانداران پلانکتون شامل فرامینیفرهای پلانکتون (مجموعاً میانگین فراوانی ۰/۱۶ و اندازه ۰/۲ میلی‌متر) و جلیک قرمز (میانگین فراوانی ۰/۱۲) هستند. کفزی‌ها نیز شامل فرامینی‌فرهای پنتیک، عمدهاً نئواآلولینا (میانگین فراوانی ۰/۸ و اندازه ۰/۹ میلی‌متر) و روتالیا (مجموعاً میانگین فراوانی کمتر از ۰/۶)، و قطعات اکینوئید و پراکیوپود (با میانگین فراوانی ۰/۴) هستند (شکل-۳). در بعضی از تموئه‌ها این رخساره دارای ساخت لامینه‌ای است.

تفسیر: با توجه به حضور هم‌زمان جانداران پنتیک و پلازویک و همچنین وجود ساخت لامینه‌ای در این رخساره می‌توان محیط تشکیل آن را را محیط حد واسط تشکیل رخساره‌های پنتیک و پلازویک در آب‌های آرام زیر خط اثر امواج در شرایط آرام (FWWB) در نظر گرفت [۲۸].

نشان‌دهنده‌ی تشکیل این رخساره در شرایط آب‌های آرام فلوگل [۱۶] است. مشابه این رخساره نیز توسط وزیری مقدم و همکاران [۴۱] و دارابی و همکاران [۹] از سازند آسماری، در جنوب‌غربی ایران گزارش شده است.

لامینهای و جهت‌گیری افقی اجزای اسکلتی و تاریک (Aphotic) با شوری عادی، زیر خط اثر امواج در شرایط طوفانی (SWB) است [۳۸]. این رخساره مریبوط به پخش‌های عمیق رمپ خارجی و معادل با RMF5



شکل ۳. تصاویر میکروسکوپی رخساره‌های B3-B4 (XPL) (A): رخساره E2 (XPL) (B): رخساره C1 (PPL) (C): رخساره D1 (XPL) (D): رخساره D2 (PPL) (E): رخساره E1 (PPL) (F): رخساره E2 (PPL). نکات: بی‌منفذ پلاتدار (عمر ۳۸۲۶ متری، چاه شماره ۳)، (B): رخساره ۳۸۸۱-۳۸۸۲ متری، چاه شماره ۶، (C): رخساره ۳۸۲۰/۵ متری، چاه شماره ۳، (D): رخساره ۳۸۲۰/۵ متری، چاه شماره ۳، (E): رخساره ۳۸۱۷ متری، چاه شماره ۳، (F): رخساره ۳۸۱۸ متری، چاه شماره ۳.

دارد [۴۲]. بنابراین مطالعات رسوب‌شناسی، نحوه توزیع و ارتباط عمودی رخساره‌ها (شکل‌های ۵ و ۶) و وجود شواهدی از قبیل تبدیل تدریجی رخساره‌ها به یکدیگر، عدم وجود رخساره‌های لغزشی، ریزشی (که نشان‌دهنده‌ی شیب زیاد محیط رسوب‌گذاری است) [۴۳] و توربیدیاتی، عدم وجود دانه‌های آگرگات، پیزوفیده‌ها، آنکوفیده‌ها و فراوانی کم کورتوفیده‌ها (که معمولاً در شلف‌های کربناته یافت می‌شوند) و عدم وجود ساخته‌های رمپ‌های کربناته از نوع رمپ با شیب ملایم<sup>۱</sup> است [۳۲] (شکل ۶). همچنین پومار [۲۷] تولید کربناته‌های گل پشتیبان در زون‌های با تور بالا<sup>۲</sup> و با تور متوسط<sup>۳</sup> را عاملی برای تشکیل رمپ هوموکلینال دانسته است. بنابراین، با توجه به این که اکثر رخساره‌های شناسایی شده در سازند مطالعه از نوع گل پشتیبان (شکل ۴) و دارای اجزای اسکلتی مریوط به آب‌های کم‌عمق دو زون نوری یووفوتیک و الیگوفوتیک هستند، می‌توان محیط رسوبی آن را رمپ هوموکلینال در نظر گرفت.

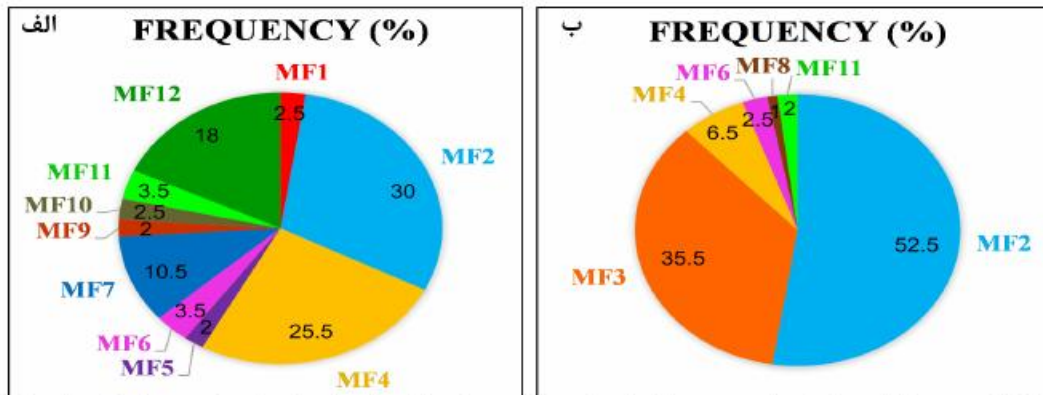
البته، همان‌طور که در شکل‌های ۵ و ۶ مشخص شده است، اکثر رخساره‌های تشکیل دهنده‌ی توالی‌های سازند آسماری در دو چاه مورد مطالعه در نواحی کم‌عمق و به ویژه لاغونی و پهنه‌ی چزر و مدی تهشیت شده‌اند، که این مطلب می‌تواند نشان‌دهنده‌ی حاکم بودن شرایط کم‌عمق آب بر محیط تهشیت اکثر رخساره‌های شناسایی شده باشد.

## درصد فراوانی رخساره‌های رسوبی در سازند مورد مطالعه

پس از شناسایی رخساره‌های رسوبی سازند آسماری در چاه‌های مورد مطالعه از میدان نفتی رامین، به منظور تعیین میزان تأثیر هر یک از رخساره‌ها بر روی کیفیت مخزنی، درصد فراوانی آن‌ها در هریک از چاه‌های مورد مطالعه به صورت چدادگاهه محاسبه شده است (شکل ۴). بر این اساس در چاه شماره ۳ رخساره‌های MF2 (مادستون تا دولوستون دارای قابریک روزنی‌ای) و MF4 (وکستون-پکستون-گرینستون بیوکلاستی پاویدی)، و در چاه شماره ۵ رخساره‌های MF2 (مادستون تا دولوستون دارای قابریک روزنی‌ای) و MF3 (مادستون کوارتزدار) دارای فراوانی بیشتری نسبت به سایر رخساره‌ها هستند.

## محیط و مدل رسوبی

با توجه به توصیف و تفسیر هر یک از رخساره‌ها و مجموعه‌های رخساره‌ای، سازند آسماری در میدان مورد مطالعه در پنج زیرمحیط رسوبی شامل پهنه‌ی چزر و مدی، لاغون، سد، دریایی باز کم‌عمق و رمپ خارجی نهشته شده است (شکل ۴‌الف). مشابه این پنج زیرمحیط رسوبی در بسیاری از محیط‌های رسوبی کربناته عهد حاضر یافت شده است [۲۹] که از این میان، خلیج فارس شاید بهترین تموئیه برای مقایسه با محیط رسوبی سازند آسماری در میدان مورد مطالعه باشد، زیرا شباهت‌های زیادی با حوضه‌ی فورلند زاگرس در طی الیگو-میوسن

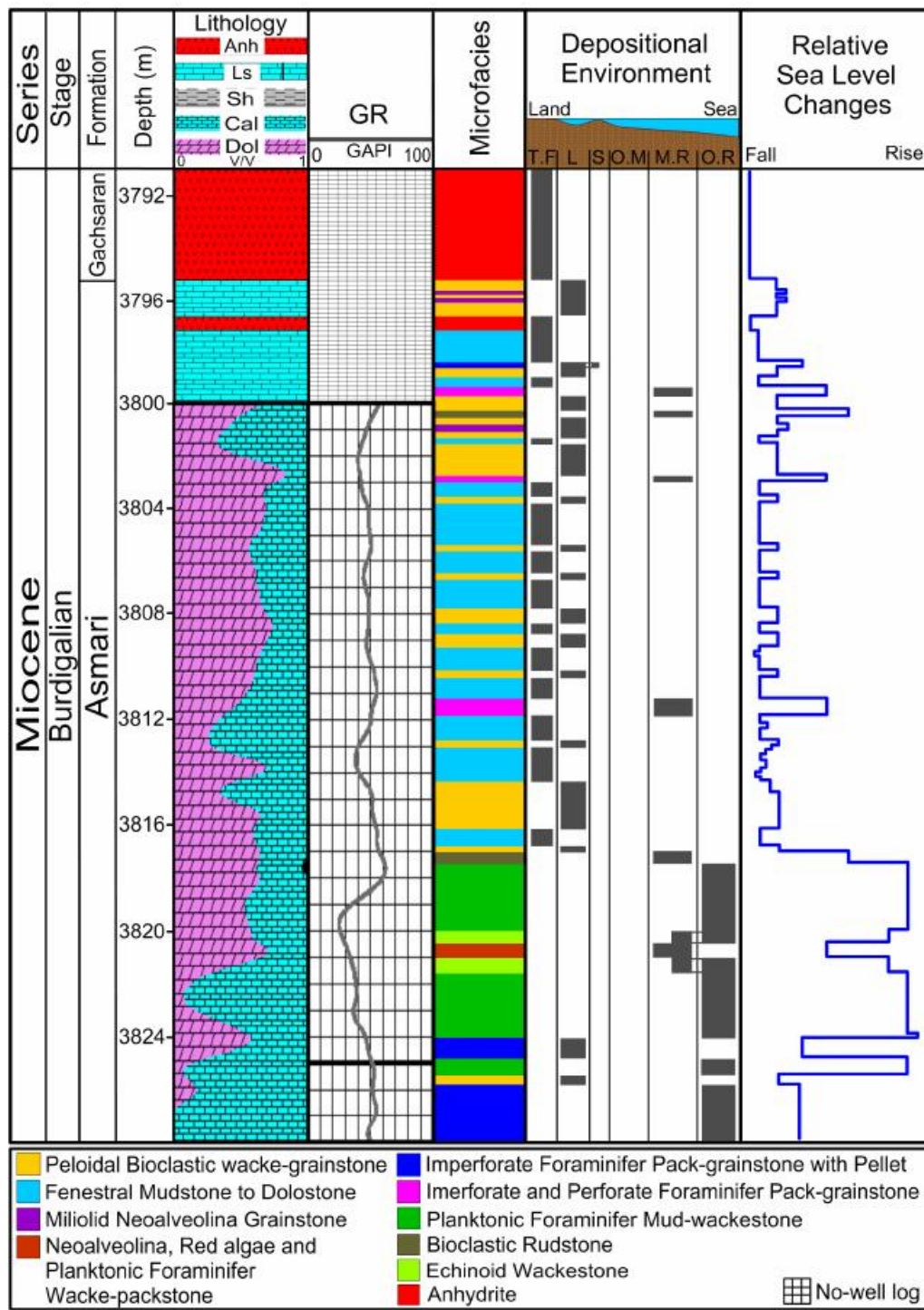


شکل ۴. (الف) درصد فراوانی رخساره‌های رسوبی شناسایی شده در نمونه‌های مطالعه شده از سازند آسماری در چاه شماره ۳ میدان نفتی رامین، (ب) درصد فراوانی رخساره‌های رسوبی شناسایی شده در نمونه‌های مطالعه شده از سازند آسماری در چاه شماره ۵ میدان نفتی رامین.

<sup>1</sup>Homoclinal ramp

<sup>2</sup>Euphotic

<sup>3</sup>Oligophotic

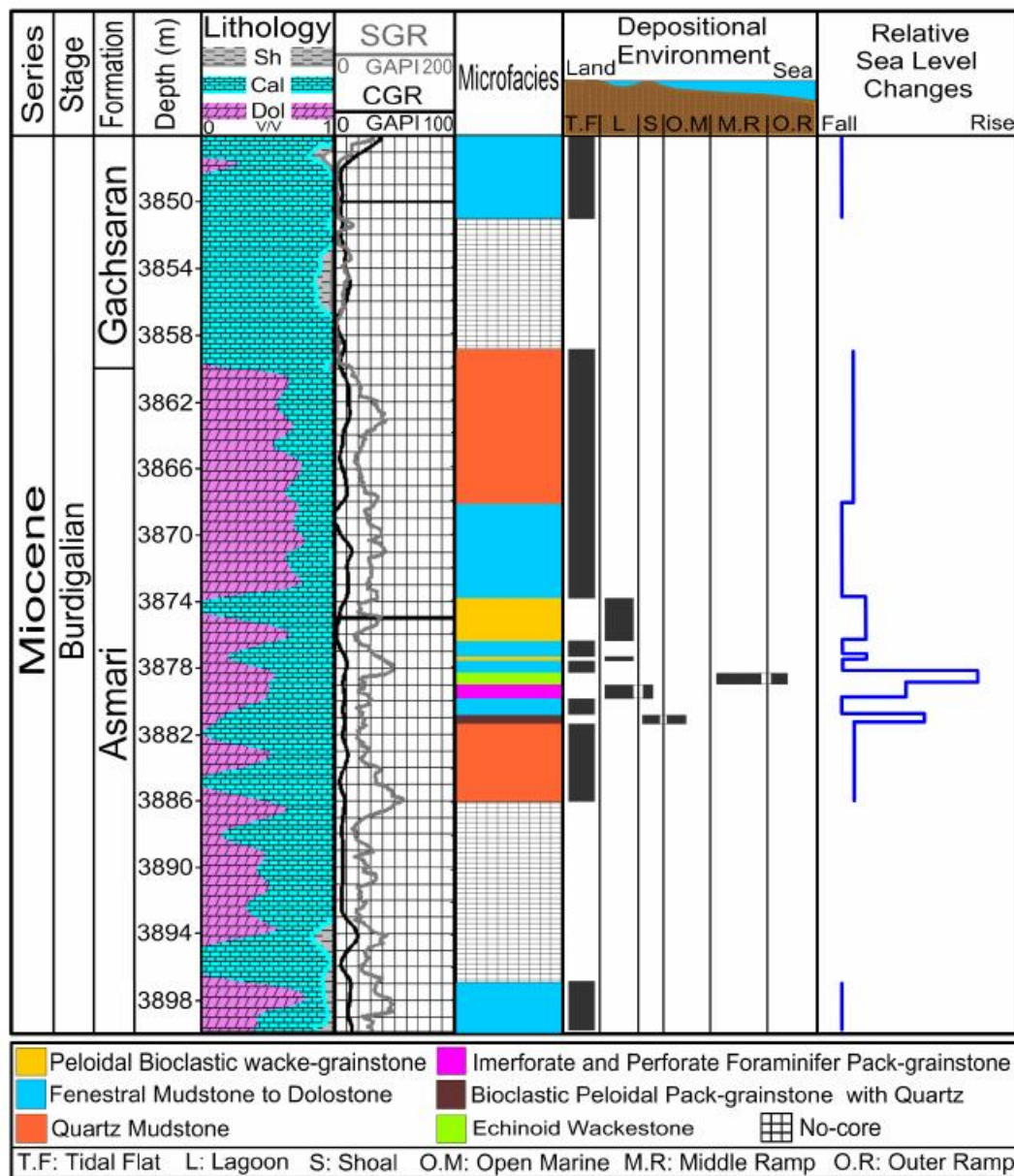


شکل ۵. توزیع و ارتباط عمودی رخساره‌های رسوبی بخشی از سازند آسماری در چاه شماره ۳ میدان نفتی رامین

تومور قیسم، انحلال، شکستگی، دولومیتی شدن، هماتیتی شدن، پیریتی شدن و استیلوولیتی شدن) را نشان می‌دهد، که با توجه به فراوانی و گسترش بیشتر فرآیندهای دولومیتی شدن، انحلال و سیمانی شدن و تأثیر بیشتر این فرآیندها بر کیفیت مخزنی سازند مورد مطالعه، این فرآیندها مورد بررسی قرار گرفته‌اند.

#### مهم‌ترین فرآیندهای دیازنی مؤثر در کیفیت مخزنی

مطالعه‌ی پتروگرافی مقاطع نازک سنگ‌های کربناته‌ی سازند آسماری طیف وسیعی از فرآیندهای دیازنیکی (از قبیل فشردگی فیزیکی، سیمانی شدن، میکریتی شدن،



شکل ۶. توزیع و ارتباط عمودی رخساره‌های رسوبی پخشی از سازند آسماری در چاه شماره ۶ میدان نفتی رامین

رخساره‌های پهنه‌ی چزرو مدی (بالای پهنه‌ی چزرو

مدی تا زیر پهنه‌ی چزرو مدی) و لاگوتی شده است. در این فایریک، دولومیتی شدن از نوع مغرب فایریک اولیه است و بلورهای دولومیت از نوع ریزبلور و عمدتاً غیرصفحه‌ای هستند (شکل -۸A).

D2 - دولومیت چانشین شونده‌ی دانه‌ها: دولومیتی شدن در این فایریک بصورت انتخابی و چانشین شونده‌ی اجزای اسکلتی و یا غیر اسکلتی رخ داده است (شکل -۳D). این فایریک عمدتاً در رخساره‌های دانه‌پشتیبان دریایی باز و گاهی لاغونی قابل مشاهده است. بلورهای

#### دولومیتی شدن

دولومیتی شدن یکی از اصلی‌ترین فرآیندهای دیاپوتیکی مشاهده شده در زون مورد مطالعه پوده که اکثر رخساره‌های کربناته بهوژه رخساره‌های مادستونی و وکستونی را تحت تأثیر قرار داده است. دولومیتی شدن در سازند آسماری در میدان مورد مطالعه به دو صورت حفظ‌کننده‌ی فایریک و مغرب فایریک رخ داده است.

D1 - دولومیت فرآگیر ریزبلور<sup>۱</sup>: این دولومیت عمدتاً چانشین پخش‌های میکریتی رخساره‌های گلی، شامل

<sup>۱</sup> Microcrystalline pervasive dolomite

۱۱ نیز مشخص است، به طور کلی مقدار حجم دولومیت از پایین توالی به سمت بالا افزایش یافته است و همچنین در پخش‌های با مقادیر بالای حجم دولومیت، شاخص‌های کیفیت مخزنی از قبیل تخلخل مقید و تراولی افزایش یافته‌اند، که این مطلب حاکی از نقش مهم فرآیند دولومیتی‌شدن در پیبود کیفیت مخزن سازند مورد مطالعه است.

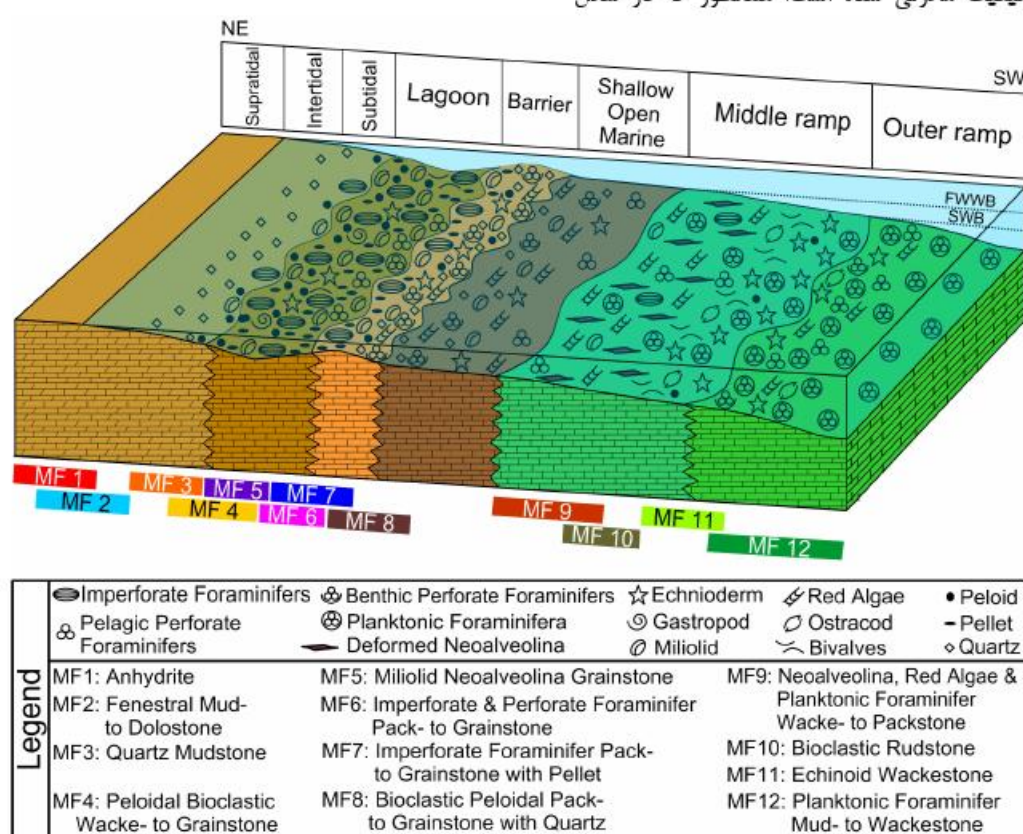
### انحلال

انحلال یکی از فرآیندهای دیاژنتیکی شناسایی شده در رخساره‌های مورد مطالعه است که به دو صورت انتخابی و غیر انتخابی، فایریک اولیه را تحت تأثیر قرار داده است. انحلال در محیط‌های رسوبی و دیاژنتیکی مختلفی از قبیل محیط متوریک کم‌عمق تزدیک سطح، محیط تدفینی عمیق و همچنین در محیط دریابی عمیق (در جایی که آب دریا نسبت به آرگونیت و کلسیت منیزیم‌دار تحت اشباع است) رخ می‌دهد [۱۶]. این فرآیند باعث ایجاد انواع حفرات مرتب و غیر مرتب شده، که ویژگی‌های آن‌ها به شرح زیر است:

دولومیت از نظر اندازه متوسط تا درشت و عمدتاً از نوع صفحه‌ای هستند.

اقروی و همکاران [۶] و ال- آسم و همکاران [۴] منعًا دولومیت‌های نوع D1 شناسایی شده در سازند آسماری را شورابه‌های تبخیری دانسته‌اند، که این نوع چانشیتی به صورت همزمان با رسوب‌گذاری یا در طی دیاژنز خیلی اولیه در محیط‌های محصور شده و یا در طی مراحل Lowstand و پیش‌روی اولیه آب دریا رخ داده است. اقروی و همکاران [۶] دولومیت‌های چانشیتی نوع D2 که در رخساره‌های دانه‌ای دریایی باز رخ داده‌اند را از نظر منعًا متقاوت با دولومیت‌های مشاهده شده در رخساره‌های گلی پخش‌های بالایی سازند آسماری دانسته‌اند و اظهار داشته‌اند که چنین دولومیت‌هایی در طی تدفین پسین و در اثر نفوذ سیالات نسبتاً تبخیری و تقلیل شده‌ی حوضه‌ای به داخل پلت‌فرم شکل گرفته‌اند.

دولومیتی‌شدن در کرینات‌های مورد مطالعه عمدتاً موجب تشکیل دولومیت‌های نوع D1 و در نتیجه باعث ایجاد تخلخل بین‌پلوری (در حدود ۰/۱۵٪) در زمینه‌ی سنگ‌های کریناته (به‌ویژه رخساره‌های گل‌پشتیبان) و در نتیجه بهبود کیفیت مخزنی شده است. همانطور که در شکل



شکل ۷. مدل رسوبی پیشنهادی برای رسوبات کریناته - تبخیری سازند آسماری در میدان نفتی رامین

از انحلال پسین است [۱۳]. بنابراین مشاهده‌ی شکستگی‌های انحلال پاافتہ حاکی از تأثیر انحلال گرانویه در مرحله‌ی دیاوتز پسین بر روی سازند مطالعه است. این نوع تخلخل با میانگین فراوانی ۴٪ و عمدتاً در رخساره‌های مادستونی تا وکستونی مشاهده شده است.

#### سیمانی شدن

سیمانی شدن یکی از فرآیندهای دیاوتیکی مهم در کربنات‌های سازند مطالعه است. انواع سیمان‌های شناسایی شده شامل سیمان‌های کلسیتی، آنیدریتی و دولومیتی هستند.

**سیمان کلسیتی:** این سیمان عمدتاً به صورت فایبریک بلوکی در بین اجزای تشکیل‌دهنده سنگ در رخساره‌های گرینستونی و تا حدودی پکستونی مشاهده می‌شود (شکل ۹-۹ و B). این نوع سیمان بیشتر به طور غیر یکنواخت در زمینه سنگ توزیع شده و نسبت به سایر سیمان‌ها فراوانی کمتری دارد. سیمان کلسیت بلوکی عموماً در دو محیط دیاوتزی متئوریک و تدفینی تشکیل می‌شود [۱۸ و ۷].

**سیمان دولومیتی:** این نوع سیمان اولین نسل سیمان در پیشاری از رخساره‌های پکستونی تا گرینستونی سازند آسماری است، که عمدتاً به صورت فایبریک حاشیه‌ای هم‌ضخامت در اطراف اجزای اسکلتی و غیر اسکلتی تشکیل شده است (شکل C-۹). سیمان‌های حاشیه‌ای از قبیل سیمان‌های متقارن اطراف دانه‌ها از حفراتی که کاملاً با آبهای متئوریک یا دریایی پر شده‌اند منتها می‌گیرند [۱۶]. بنابراین تشکیل سیمان دولومیتی با فایبریک حاشیه‌ای هم‌ضخامت می‌تواند در ارتباط با زون فریاتیک باشد [۲۴].

**سیمان آنیدریتی:** فراوان ترین سیمان مشاهده شده در سازند مطالعه سیمان آنیدریتی است. این سیمان به صورت فایبریک‌های مختلف در طیف وسیعی از رخساره‌های کربنات سازند آسماری در میدان نقی نامن شناسایی شده است.

**سیمان آنیدریت پویکیلوتاپیک<sup>۱</sup>:** این سیمان عمدتاً در رخساره‌ی پکستون تا گرینستون بیوکلاستی پلوویدی مشاهده می‌شود (شکل D-۹). مطالعات مختلف حاکی از تشکیل این بافت سیمان آنیدریتی در مرحله‌ی دیاوتز

#### حفرات غیر مرتبط<sup>۲</sup>

**تخلخل حفره‌ای غیر مرتبط:** تخلخل‌های حفره‌ای غیر مرتبط از نوع حفرات انحلالی غیر مرتبط انتخاب نموده توسط فایبریک هستند، که بیشتر در رخساره‌های وکستونی تا پکستونی مشاهده شده‌اند (شکل B-۸). این حفرات به دلیل نداشتن گلوبگاه‌های ارتباطی، اگرچه تخلخل کل سنگ را افزایش می‌دهند، اما تأثیر چندانی در افزایش تراوایی و در نتیجه افزایش کیفیت مخزنی ندارند.

**تخلخل قالبی:** حفرات قالبی از نوع حفرات انحلالی غیر مرتبط انتخاب شده توسط فایبریک هستند [۲]، که در زون مورد مطالعه عمدتاً در اثر انحلال انتخابی آلومک‌ها در رخساره‌های دانه‌پشتیبان (شکل C-۸) و به میزان کمتر در رخساره‌های گلپشتیبان ایجاد شده است. این نوع حفرات نیز به دلیل نداشتن ارتباط با یکدیگر تنها موجب افزایش تخلخل کل می‌شوند و نقشی در افزایش تراوایی ندارند.

#### حفرات مرتبط<sup>۳</sup>

**تخلخل حفره‌ای مرتبط:** این حفرات تحت کنترل فایبریک نیستند و عمدتاً در اثر انحلال گستردگی ایجاد می‌شوند. از آنجلیکی که این نوع فضاهای خالی خصوصیات چریان مخزن را پسیار تحت تأثیر قرار می‌دهند، تشخیص وجود این نوع از تخلخل در سنگ‌های مخزنی حائز اهمیت است. پخش عمداء از فضاهای خالی مشاهده شده (بیش از ۳۰٪) در کربنات‌های مورد مطالعه از این نوع تخلخل هستند، که در انواع رخساره‌های کربنات رخ داده‌اند (شکل D-۸).

**تخلخل غاری:** تخلخل غاری، توسط فایبریک کنترل نمی‌شود و با حفرات بزرگ مشخص می‌شود (شکل E-۸) و عمدتاً توسط فرآیندهای انحلال گستردگی یا انحلال کارستی تشکیل می‌شود [۱۶]. این تخلخل یا میانگین فراوانی ۵٪ هم در رخساره‌های دانه‌پشتیبان و هم در رخساره‌های گلپشتیبان یا اندازه و اشكال مختلف مشاهده می‌شود.

**تخلخل کانالی:** انحلال گستردگی در امتداد شکستگی‌ها باعث توسعه‌ی آنها و ایجاد این نوع تخلخل می‌شود (شکل F-۸). انحلال در طول شکستگی‌ها شاهد محکمی

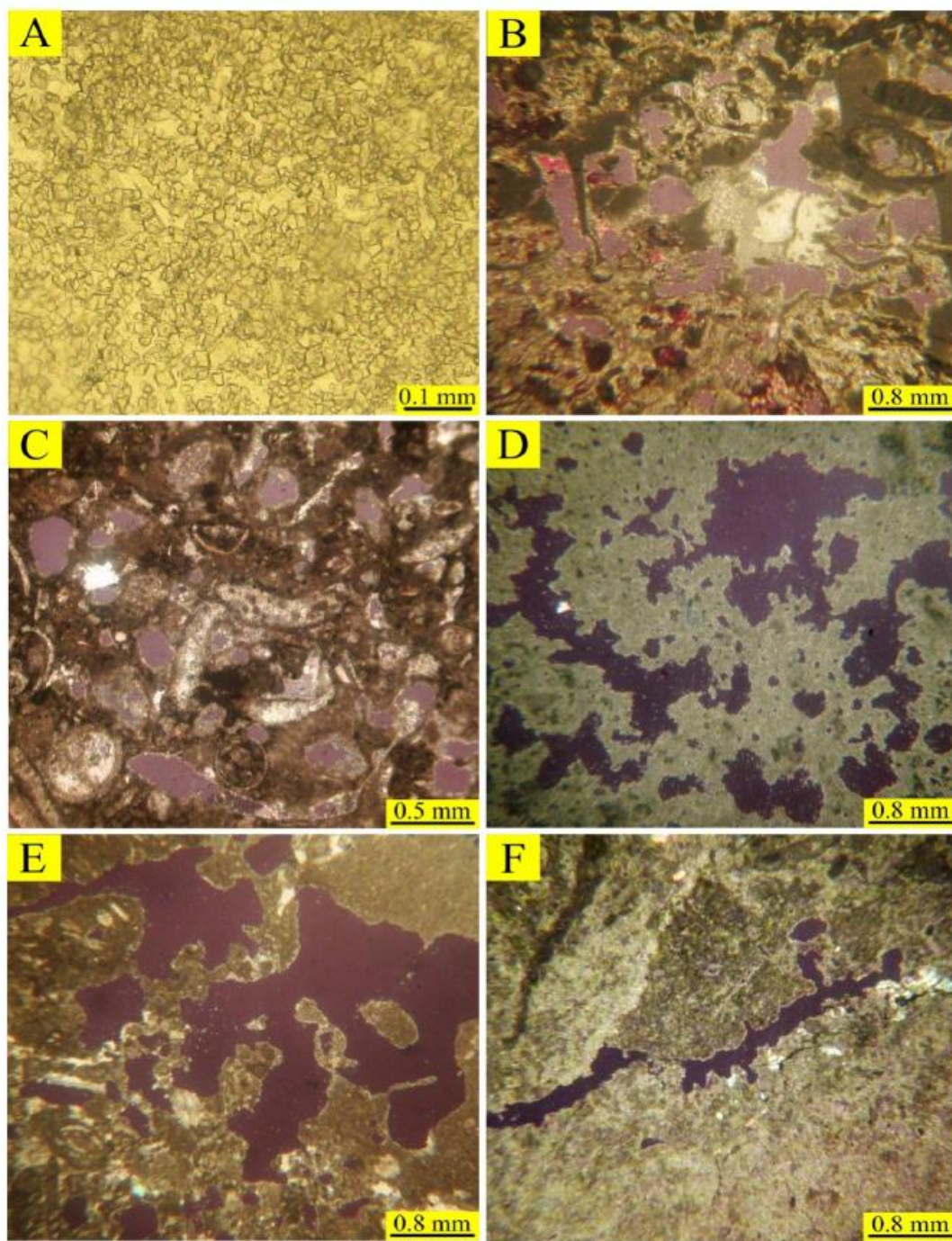
<sup>1</sup> Separate vugs

<sup>2</sup> Touching vugs

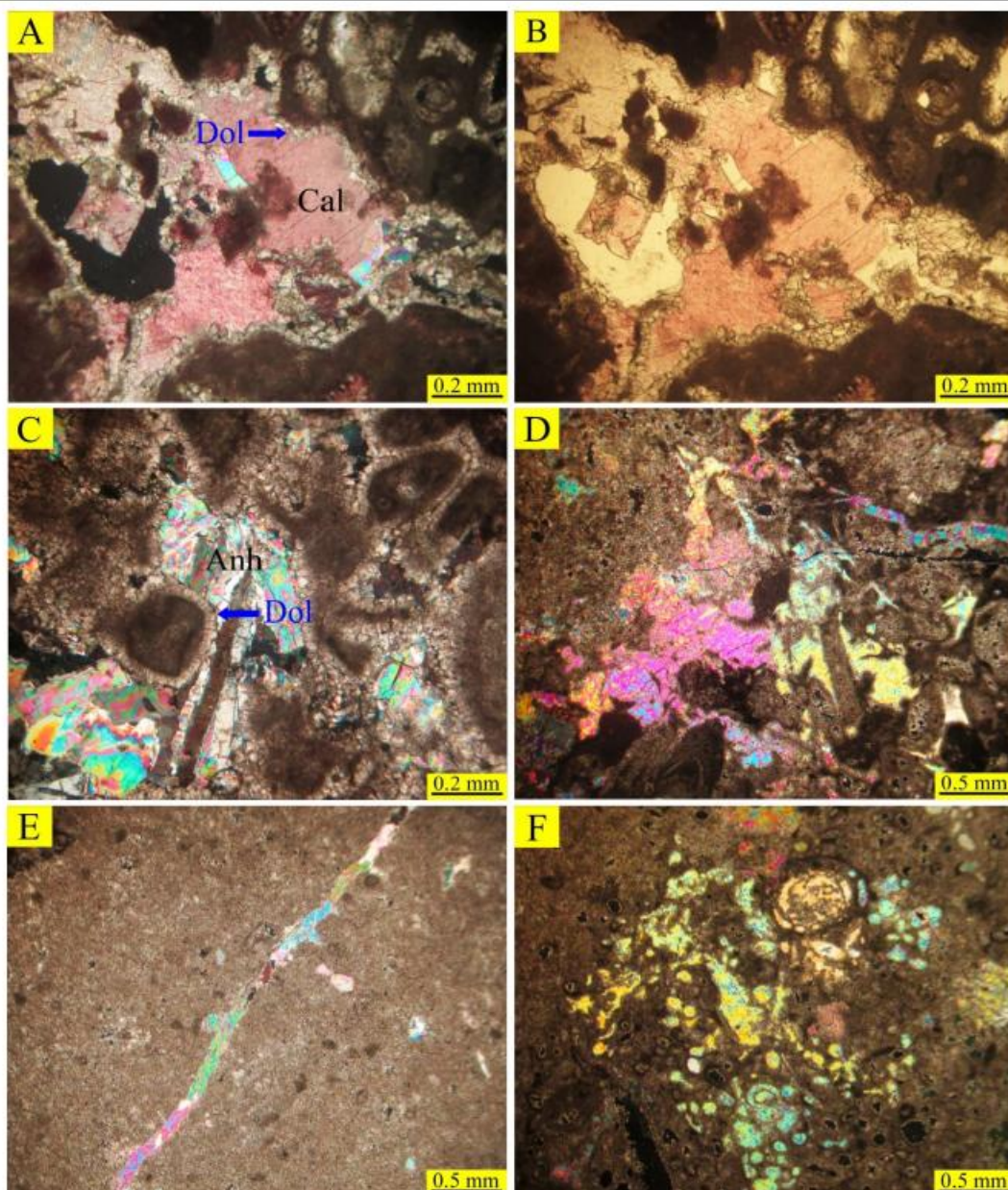
<sup>3</sup> Poikilotopic anhydrite cement

همراه است که این همراهی حاکی از ثانویه بودن این نوع از انیدریت است.

تdefine است [۲۳ و ۱۱]. در سازند مورد مطالعه این نوع انیدریت عمدها در پرگیرندهای پلورهای خودشکل دolumیت ثانویه است و اکثرآ یا فرآیند دولومیتی شدن



شکل ۸. تصاویر میکروسکوپی انواع تخلخل دیازنتیکی شناسایی شده در سازند مطالعه (XPL-PPL) استفاده از تیغه زیپس. به جز تصویر (A): تخلخل بین پلوری بین پلورهای دولومیت نوع D1 (عمق ۳۸۱۶/۵ متری، چاه شماره ۳). (B): تخلخل حفره‌ای غیر مرتبه در رخساره پکستون پیوگلاستی پلوئیدی (عمق ۳۸۰۰ متری، چاه شماره ۳). (C): تخلخل قالبی در رخساره پکستون پیوگلاستی پلوئیدی (عمق ۳۸۰۰/۸ متری، چاه شماره ۳). (D): تخلخل حفره‌ای مرتبه در رخساره مادستون دولومیتی (عمق ۳۸۷۸ متری، چاه شماره ۶). (E): تخلخل غاری در رخساره پکستون حاوی فرامینی فرهای منفذ دار و پی منفذ (عمق ۳۸۷۹/۶ متری، چاه شماره ۶) و (F): تخلخل کاتالی در رخساره مادستونی (عمق ۳۸۰۴/۵ متری، چاه شماره ۳).



شکل ۹. تصاویر میکروسکوپی انواع سیمان گریناته و تیغیری شناسایی شده در رخساره‌های سازند آسماری (چاه شماره ۳-۳ به جز تصویر B) و (B): سیمان کلسیت پلوکی (Cal) در رخساره پکسٹون پلوییدی (تصویر B: PPL-عمق ۳۸۰۱ متری)، (C): سیمان دولومیت حاشیه‌ای (Dol) و سیمان اندیریتی (Anh) در رخساره گربنستون پلوییدی (عمق ۳۸۰۵/۵ متری)، (D): سیمان اندیریت پوکلولوتابیک در رخساره گربنستون پوکلاستی پلوییدی (عمق ۳۸۱۶ متری)، (E): سیمان اندیریت پرکننده‌ی شکستگی در رخساره مادستون دولومیتی (عمق ۳۸۰۳/۵ متری) و (F): سیمان اندیریت فراگیر پرکننده‌ی حفرات قالبی (عمق ۳۸۱۴ متری).

رخساره‌های دانه‌پشتیان سازند آسماری مشاهده شده است.

سیمان اندیریت پرکننده‌ی شکستگی‌ها<sup>۲</sup>: این سیمان رگه‌ها و شکستگی‌های موجود در زمینه سنگ را هر می‌کند و عمدها در رخساره‌های مادستونی و وکستونی

سیمان اندیریت فراگیر<sup>۳</sup>: این نوع سیمان یا پلورهای درشت، حقرات بین دانه‌ای یا بین پلوری سنگ را به صورت فراگیر پر می‌کند (شکل ۹-E) و معمولاً در اثر چرخش آب‌های دریایی شور، کمی بعد از رسوب‌گذاری تشکیل می‌شود [۱۴]. این نوع سیمان بیشتر در

<sup>۲</sup> Fractures filling anhydrite cement

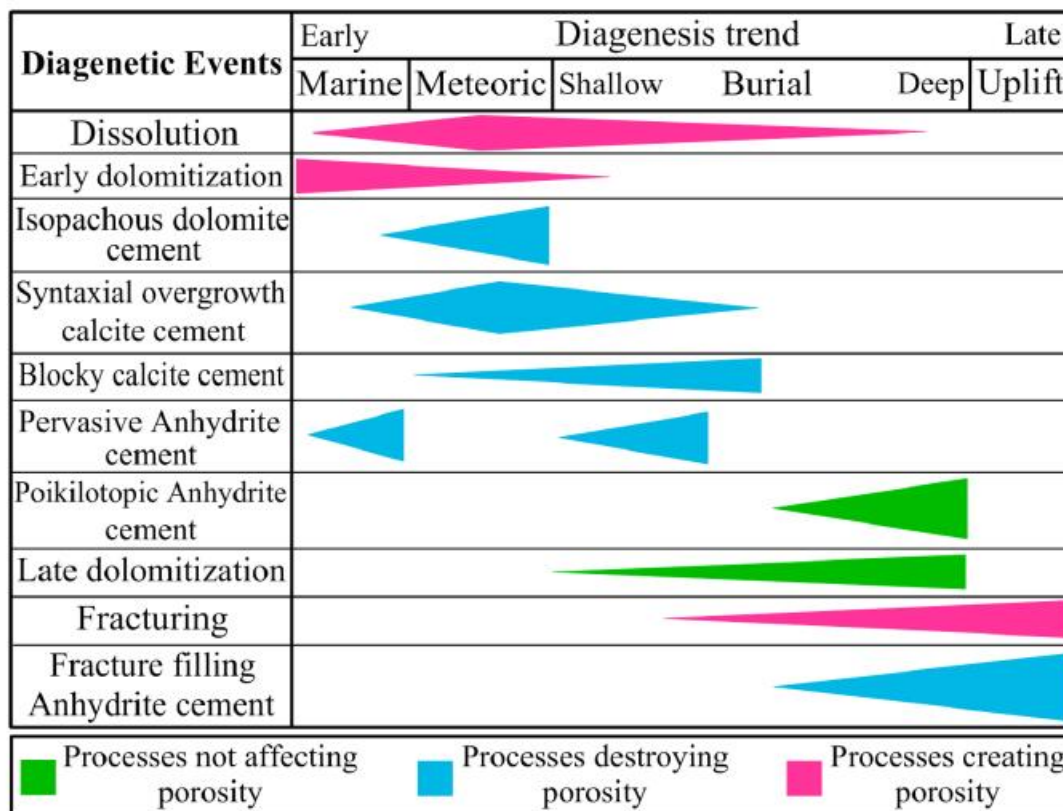
<sup>۳</sup> Pervasive anhydrite cement

متوریک کریبات‌های سازند آسماری را تحت تأثیر قرار داده است. البته با توجه به حفرات اتحالی ایجاد شده و ارتباط آن‌ها با سلیر فرآیندها، فرآیند اتحال از محیط دیاوتیکی دریایی آغاز و تا مراحل تدفین عمیق ادامه یافته است. تشکیل سیمان دولومیت حاشیه‌ای هم ضخامت فرآیند دیگری است که در محیط متوریک رخ داده است. سیمان کلسیت پلوکی، به طور کلی می‌تواند در طیف وسیعی از مراحل ابتداً دیاپز (محیط دریایی، متوریک و تدفینی کم‌عمق) تشکیل شده باشد. سیمان انیدریت فراغیر در دو محیط دریایی و تدفینی کم‌عمق تشکیل شده است. از شواهد پتروگرافی محیط دیاپزی تدفینی عمیق می‌توان به رویداد فرآیندهایی از قبیل دولومیتی شدن پسین (تشکیل دولومیت‌های نوع D2) و تشکیل سیمان انیدریت پویکیلوتاپیک اشاره کرد. وجود شواهدی از فرآیندهای شکستگی و پرشدگی بعضی از آن‌ها توسط سیمان انیدریتی نیز می‌تواند نشان دهنده‌ی بالاًمدگی سازند آسماری در طی مرحله تلاویز باشد.

مشاهده می‌شود (شکل F-۹). همراهی این سیمان با فرآیندهای شکستگی و استیلویتی شدن حاکی از تشکیل آن طی دیاپز تدفینی است.

#### توالی پارازنیکی فرآیندهای دیاپز

مطالعات پتروگرافی مهتم‌ترین فرآیندهای دیاپزی مؤثر بر کیفیت مخزنی و ارتباط و زمان نسبی تشکیل آن‌ها در سنگ‌های کریبات‌های سازند آسماری در میدان مورد مطالعه حاکی از تشکیل و توسعه آن‌ها در محیط‌های دیاوتیکی دریایی، متوریک و تدفینی و همچنین در حین بالاًمدگی است (شکل ۱۰). در محیط دیاپز دریایی، همزمان با رسوب‌گذاری و کمی پس از آن فرآیند دولومیتی شدن اولیه (دولومیت‌های نوع D1) رسوبات زیرمحیط‌های کم‌عمق پهنه‌های جزر و مدی و لاغونی را تحت تأثیر قرار داده‌اند. در طی در معرض هوا قرار گرفتن رسوبات، ناشی از پسروی‌های سطح آب دریا و یا بالاًمدگی‌های تکتونیکی حوضه، فرآیند اتحال اصلی‌ترین فرآیندی بوده که در محیط دیاوتیکی



شکل ۱۰. توالی پارازنیکی فرآیندهای دیاپزی مؤثر بر کیفیت مخزنی سازند آسماری در میدان نفتی رامین

با توجه به رویداد گستردگی رخساره‌های گلپشتیبان و پکستونی دولومیتی شده دولومیتی شده و درصد فراوانی هریک از آن‌ها در توالی کربناته مورد مطالعه (شکل ۴)، می‌توان کلاس پتروفیزیکی ۲ را به رخساره‌ی MF4 و به میزان کمتر به رخساره‌های MF6 و MF7 که دارای فایبریک پکستونی هستند و کلاس پتروفیزیکی ۳ را به MF12 و به میزان کمتر به رخساره‌های MF2 و MF11 که دارای فایبریک گلپشتیبان مادستونی تا و کستونی هستند نسبت داد. از این رو می‌توان فرآیند دولومیتی شدن رخساره‌های گلپشتیبان و تا حدودی دانه‌پشتیبان پکستونی را یکی از فاکتورهای اصلی کنترل کننده‌ی کیفیت مخزنی سازند مورد مطالعه در نظر گرفت، که با ایجاد تخلخل‌های بین‌پلوری منجر به بهبود خواص مخزنی شده است.

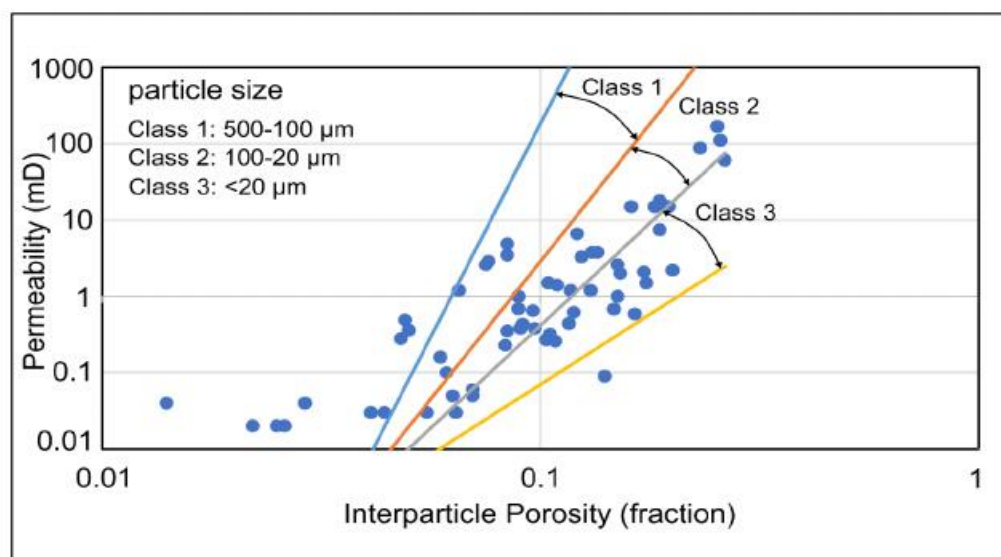
از آنجایی که رخساره‌های کربناته از نظر بافت، ترکیب شیمیایی و از همه مهم‌تر توزیع اندازه‌ی فضاهای خالی بسیار متنوع هستند [۲] و بافت و سیستم حفرات رسوبی آن‌ها تحت تأثیر دیاوزز دستخوش تغییر و تحول قرار می‌گیرد [۳۳]. فهم محیط رسوبی، رخساره‌ها و دیاوزز توالی‌های کربناته و ارتباط بین آن‌ها کمک شایانی به شناخت شبکه حفرات، تخمین توزیع آن‌ها و در نتیجه تخمین کیفیت مخزنی می‌کند. همانطور که در شکل‌های ۱۲ و ۱۳ نیز نشان داده شده است ارتباط نسبتاً خوبی بین رخساره‌های رسوبی، فرآیندهای دیاوزتیکی و نمودارهای پتروفیزیکی شاخص کیفیت مخزنی وجود دارد.

### کیفیت مخزنی

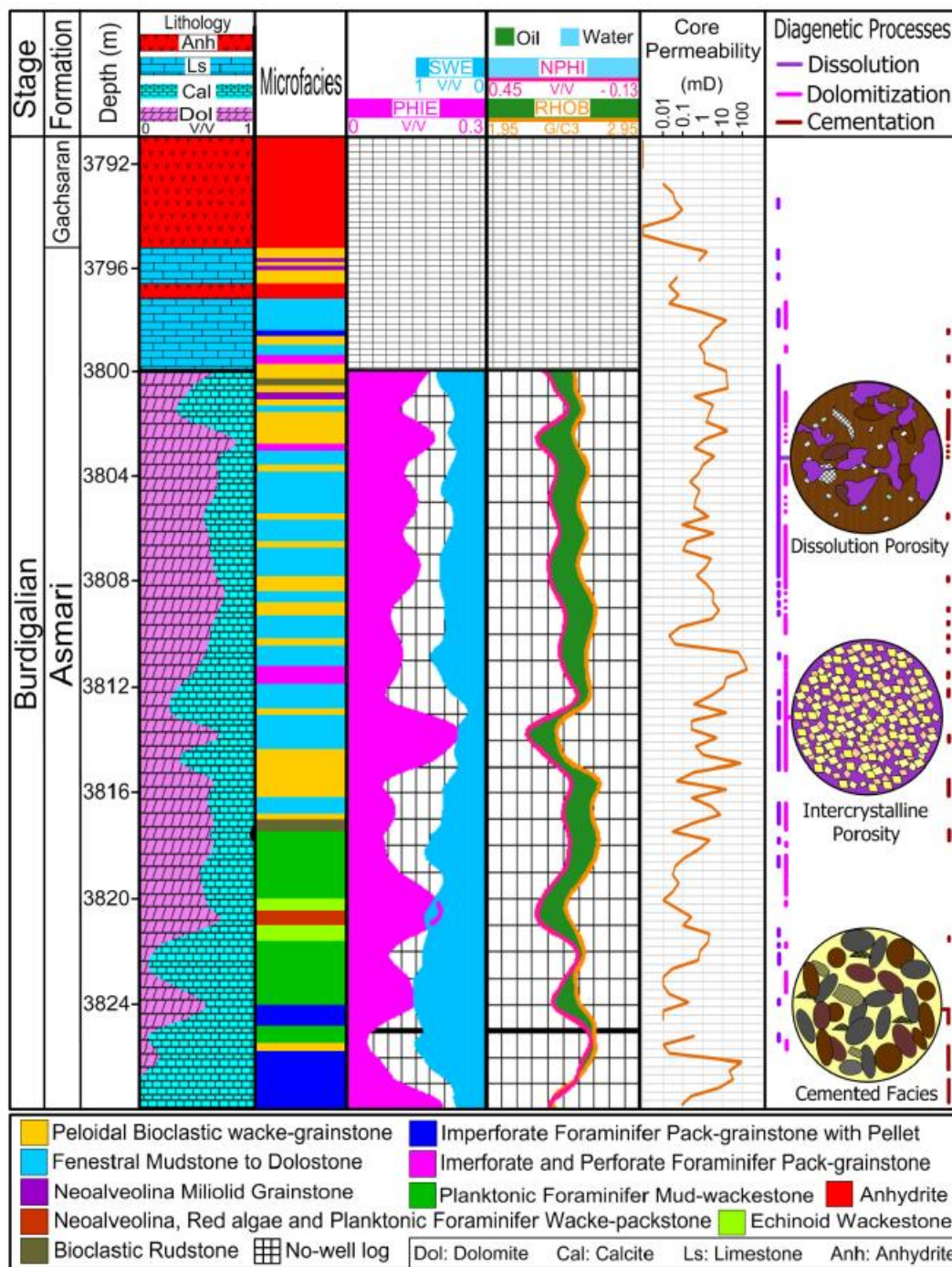
#### نمودار تخلخل - تراوایی لوسیا

لوسیا [۲۱] نشان داده است که تراوایی در سنگ‌های کربناته بیشتر تحت تأثیر نوع تخلخل و ارتباط آن‌ها است. توزیع انواع تخلخل به وسیله‌ی رخساره‌های رسوبی کنترل می‌شود، در حالی که توزیع تراوایی عمدهاً توسط فرآیندهای دیاوزتیکی، بهوژه دولومیتی شدن کنترل می‌شود [۲۶]. در کربناتهای دولومیتی شده، وجود زون‌های متخلخل و تراوا شدیداً به درجه دولومیتی شدن واپسیه است. لوسیا [۱۴] بین تراوایی و اندازه‌ی ذرات تشکیل‌دهنده‌ی سنگ‌های کربناته ارتباط قوی گزارش کرده است، که تراوایی یا افزایش اندازه‌ی ذرات ایجاد می‌شود. بر اساس این مشاهدات، خصوصیات تراوایی تخلخل‌های بین‌ذره‌ای را در سه کلاس فایبریک سنگ‌پتروفیزیکی گروه‌بندی کرده است. کلاس ۱ از گرینستون، دولو-گرینستون و دولوستون‌های درشت‌بلور تشکیل شده است: کلاس ۲ از پکستون‌های دانه‌پشتیبان، دولو-پکستون‌های دانه‌پشتیبان ریز تا متوسط پلور، و کلاس ۳ از سنگ‌آهک‌های گلپشتیبان و دولوستون‌های گلپشتیبان ریزبلور تشکیل شده است [۲].

شکل ۱۱ پلات داده‌های تخلخل - تراوایی معزه سازند آسماری در چاه شماره ۳ میدان نفتی رامین بر روی نمودار لوسیا را نشان می‌دهد، و همانطور که مشخص است اکثر نقاط در کلاس‌های پتروفیزیکی ۲ و ۳ قرار گرفته‌اند و کلاس پتروفیزیکی ۱ فراوانی کمی دارد.



شکل ۱۱. پلات مقادیر تخلخل - تراوایی سنگ‌های دارای تخلخل‌های بین‌ذره‌ای کربناتهای مورد مطالعه از چاه شماره ۳ مخزن آسماری بر روی نمودار و کلاس‌های سنگی لوسیا



شکل ۱۲. ارتباط رخساره‌های رسوبی، فرآیندهای دیاژنتیکی (انحلال، دولومیتی شدن و سیمانی شدن) و نمودارهای شاخص کیفیت مخزنی سازند آسماری در چاه شماره ۳ میدان نفتی رامین

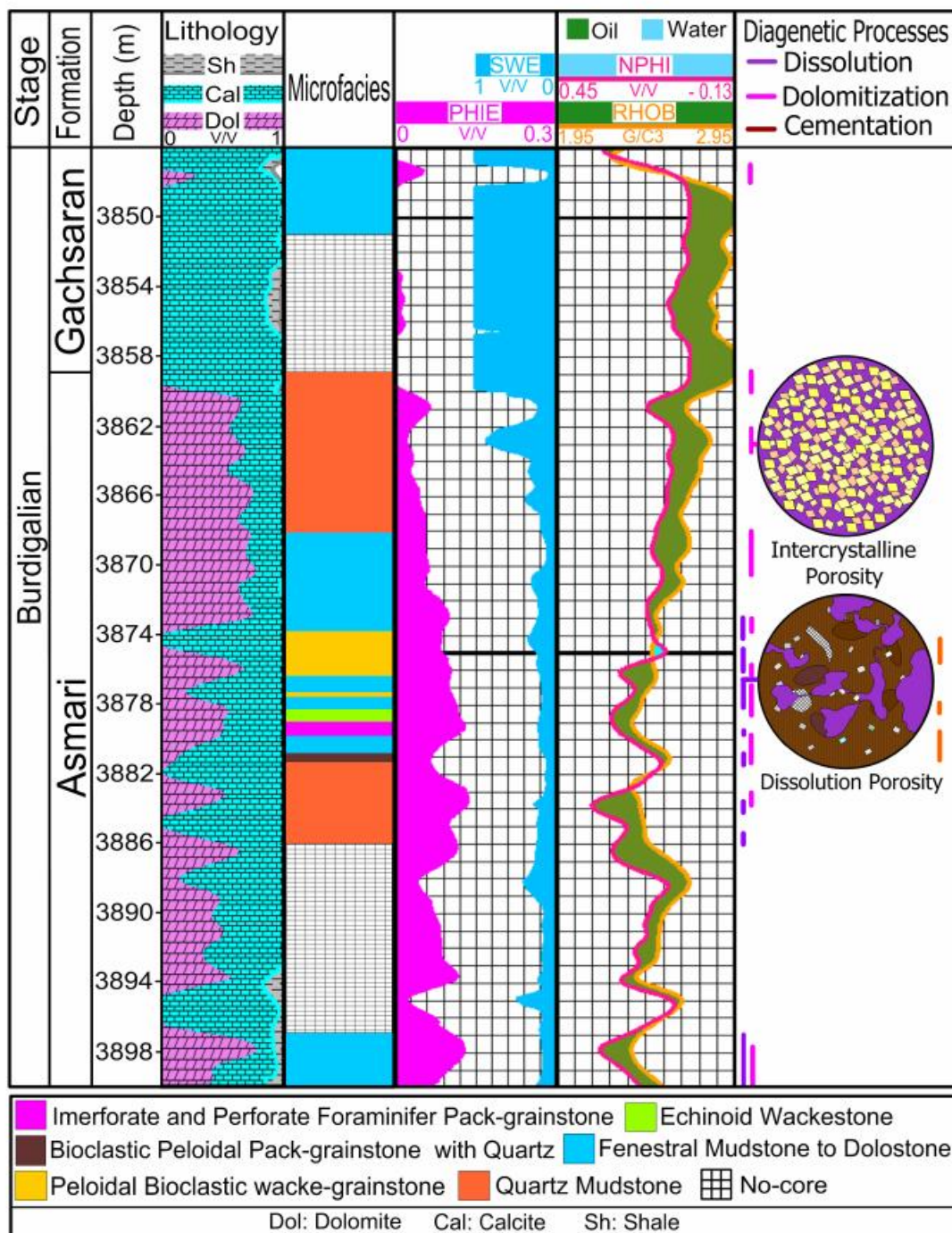
شده در تموثه‌های مورد مطالعه از نوع ثانویه و تا حدود زیادی از نوع حقره‌ای مرتبط هستند، می‌توان این فرآیند را اصلی‌ترین عامل افزایش دهنده‌ی تخلخل و تراولی و در نتیجه پهپود کیفیت مخزنی دانست.

دولومیتی شدن فرآیند دیاژنتیکی دیگری است که از طریق تغییر تخلخل، تراولی و فایریک سنگ نقش مهمی

انحلال یکی از فرآیندهای دیاژنتیکی مهم در سنگ‌های کربناته مورد مطالعه است که از طریق ایجاد انواع حفرات در رخساره‌های کم‌عمق پهنه‌ی چز و مدب و لاغونی (رخساره‌های مادستونی تا دولوستونی، و وکستون تا گرینستون بیوکلاستی پلوئیدی) موجب پهپود کیفیت مخزنی شده است. با توجه به اینکه اکثر حفرات مشاهده

نیز مشخص است، به طور کلی در بخش‌هایی از توالی که نسبت حجم لیتو‌لوجی دلومیت به کلسیت افزایش یافته، تخلخل و تراولی نیز افزایش یافته‌اند، که این خود می‌تواند شانده‌نده‌ی تأثیر مثبت دلومیتی‌شدن بر روی کیفیت مخزنی باشد.

در کیفیت مخزنی توالی‌های کربناته اینا می‌کند [۲] در زون مورد مطالعه این فرآیند به میزان قابل توجهی توالی‌های کربناته (مخصوصاً رخساره‌های کم‌عمق مادستوتی تا دلوسنتی) را تحت تأثیر قرار داده و باعث ایجاد حفرات بین‌بلوری و در نتیجه افزایش تخلخل و تراولی شده است. همانطور که در شکل‌های ۱۲ و ۱۳



شکل ۱۳. ارتباط رخساره‌های رسوبی، فرآیندهای دیابتیکی (دلومیتی شدن، انحلال و سیمانی شدن) و نمودارهای شاخص کیفیت مخزنی سازند آسماری در چاه شماره ۶ میدان نفتی رامین

کربناته از نوع رمپ هوموکلینال است. در این مطالعه رخساره‌های پهنه‌ی چزرو مدب و لاغونی (مخصوصاً رخساره‌های مادستون تا دولوستون، و وکستون تا گرینستون بیوکلاستی پلوئیدی) مجموعاً با فراوانی حدود ۶۰٪ دارای گسترش بیشتری نسبت به سایر رخساره‌ها هستند.

از بین انواع فرآیندهای دیاوتیکی شناسایی شده در سازند مورد مطالعه، سه فرآیند دولومیتی‌شدن، اتحلال و سیمانی شدن کیفیت مخزنی را تحت تأثیر خود قرار داده‌اند. فرآیندهای اتحلال و دولومیتی‌شدن عملکرد بیشتری نسبت به فرآیند سیمانی‌شدن داشته‌اند، که عمدتاً رخساره‌های دولو-مادستونی، و وکستون تا گرینستون بیوکلاستی پلوئیدی را تحت تأثیر قرار داده‌اند و موجب افزایش تخلخل، تراوایی و در نتیجه افزایش کیفیت مخزنی شده‌اند. از طرفی دیگر فرآیند سیمانی شدن بیشتر در رخساره‌های پکستون تا گرینستونی رخداده، که منجر به کاهش تخلخل و تراوایی و در نتیجه کاهش کیفیت مخزنی در بعضی از بخش‌های توالی (مخصوصاً در چاه شماره ۳) شده است.

بنابراین، می‌توان نتیجه گرفت که رخساره‌های کم‌عمق و عمدتاً گلپشتیبان که از فراوانی بیشتری نسبت به سایر رخساره‌ها برخوردارند و بیشتر تحت تأثیر فرآیندهای اتحلال و دولومیتی‌شدن قرار گرفته‌اند نقش مهمی را در افزایش کیفیت مخزنی کربناته‌های مورد مطالعه از سازند آسماری ایفا کرده‌اند. از طرفی دیگر رخساره‌های پکستونی تا گرینستونی دارای فراوانی کم و به دلیل تشکیل انواع سیمان کربناته و تیخیری در آن‌ها باعث کاهش کیفیت مخزنی در بعضی از بخش‌های توالی کربناته‌ی سازند آسماری در میدان نفتی رامین شده‌اند. هم‌چنانی با توجه به گسترش کم شکستگی‌ها در سازند مورد مطالعه، نقش این نوع تخلخل در بهبود کیفیت مخزنی سازند آسماری خیلی کم بوده است.

#### منابع

- [۱] امینی، ع (۱۳۹۰) مبانی چینه‌نگاری سکانسی، انتشارات دانشگاه تهران، ۳۳۹ ص.
- [۲] کرامتی، م (۱۳۹۳) مبانی مطالعات، توسعه و مدیریت یکپارچه مخازن هیدروکربنی، پژوهشگاه صنعت نفت، ۴۳ ص.

به طور کلی در توالی‌های کربناته مطالعه شده از سازند آسماری (در هر دو چاه شماره ۳ و ۶) با افزایش تأثیر فرآیندهای دولومیتی‌شدن و اتحلال معیارهای کیفیت مخزنی از قبیل تخلخل مؤثر (PHIE) تا بیش از ۷۱٪ تخلخل نوترن (NPHI) و تراوایی تا بیش از ۱ میلی- دارسی افزایش یافته است (شکل‌های ۱۲ و ۱۳)، که این خود حاکی از تأثیر مستقیم و مهمن دین دو فرآیند در افزایش کیفیت مخزنی سازند آسماری در میدان نفتی رامین است.

سیمانی‌شدن در سنگ‌های کربناته مطالعه شده از طریق ایجاد انواع سیمان‌های کربناته و تیخیری کیفیت مخزنی را تحت تأثیر قرار داده است، که به ترتیب سیمان‌های انیدریتی و دولومیتی با گسترش بیشتر نسبت به سیمان کلسیتی، نقش مهم‌تری در کاهش کیفیت مخزنی ایفا کرده‌اند. سیمان کلسیت بلوکی از طریق از بین بردن حقرات اولیه بین اجزای تشکیل‌دهنده‌ی سنگ و سیمان دولومیت حائیه‌ای هم‌ضخامت نیز با کاهش دادن حجم فضاهای خالی و مسدود کردن گلوگاه‌های تخلخل در رخساره‌های پکستونی تا گرینستونی موجب کاهش تراوایی و در نتیجه کاهش کیفیت مخزنی شده‌اند. سیمان‌های انیدریتی با توجه به نوع فایبریک خود تأثیر متفاوتی را بر روی خصوصیات پتروفیزیکی داشته‌اند، اما به طور کلی موجب کاهش کیفیت مخزنی در انواع رخساره‌های کربناته (بهویه در رخساره‌های پکستون تا گرینستونی) شده است. همان‌طور که در شکل‌های ۱۲ و ۱۳ مشخص است، فرآیند سیمانی‌شدن به دلیل فراوانی کم (فراوانی کم رخساره‌های گرینستونی)، تنها در بعضی بخش‌های توالی باعث کاهش تخلخل (تخلخل کمتر از ۱۲٪)، تراوایی (تراوایی کمتر از ۰/۰۱٪) و افزایش اشباع آب مؤثر (بیش از ۶۰٪) و در نتیجه کاهش کیفیت مخزنی شده است.

#### نتیجه‌گیری

مطالعات میکروسکوپی تموه‌های سازند آسماری در چاه‌های شماره ۳ و ۶ میدان نفتی رامین منجر به شناسایی و تعیین ۱۲ رخساره‌ی رسوبی شد که در پنج کمریند رخساره‌ای پهنه‌ی چزرو مدب و مدبی، لاغون، سد، دریای باز و رمپ خارجی نهشته شده‌اند. شواهد موجود حاکی از تنشست سازند آسماری بر روی یک پلت‌فرم

- American Association of Petroleum Geologists, v. 92(6), p. 691-707.
- [14] Ehrenberg, S.N., Walderhoug, O., Bjørlykke, K (2012) Carbonate porosity creation by mesogenetic dissolution: Reality or illusion?, The American Association of Petroleum Geologists, v. 96(2), p. 217-233.
- [15] Embry, A.F., Klovan, J.E (1971) A Late Devonian reef tract on northeastern Banks Islands, Northwest Territories, Bulletin of Canadian Petroleum Geology, v. 19, p. 730-781.
- [16] FlÜgel, E (2010) Microfacies of carbonate rocks, analysis interpretation and application, Berlin-Heidelberg, New York, Springer, 976 p.
- [17] Geel, T (2000) Recognition of stratigraphic sequence in carbonate platform and slope: empirical models based on microfacies analysis of Paleogene deposits in southeastern Spain, Palaeogeography, Palaeoclimatology, Palaeoecology, v. 155(3), p. 211-238.
- [18] James, N.P., and Choquette, P.W (1990) Limestone - the sea floor diagenetic environment: In I.A., Macilreath and D.W. Morrow (eds.), Diagenesis, Geological Association of Canada, v. 11, p. 161-194.
- [19] Kogel, J.E., Trivedi, N., Barker, J.M., Krukowski, S.T (2006) Industrial minerals & rock-Commodities, Markets and Uses, 7th edition, Society for mining, Metallurgy and Exploration Inc., 1568 p.
- [20] Kumar, A., Kumar Saraswati, P (1997) Response of larger foraminifera to mixed carbonate-siliciclastic environments: an example from the Oligocene-Miocene sequence of Kutch, India, Palaeogeography, Palaeoclimatology, Palaeoecology, v. 136, p. 53- 65.
- [21] Lucia, F.J (1987) Rock fabric, permeability, and log relationships in a upward-shoaling vuggy carbonate sequence, Bureau of Economic Geology, University of Texas at Austin: Geological Circular, 87, 22 p.
- [22] Lucia, F.J (2007) Carbonate reservoir characterization, Second edition. Springer-Verlag, Berlin Heidelberg. 236 p.
- [23] Luczaj, J.A., Goldstein, R.H (2000) Diagenesis of the lower Permian Krider member, southwest Kansas, USA: Fluid-inclusion, U-Pb, and fission-track evidence for reflux dolomitization during latest Permian time, Journal of Sedimentary Research, Section A: Sedimentary Petrology & Processes, v. 70, p. 762-773.
- [24] Moore, C.H., Wade, W.J (2013) Carbonate reservoirs: porosity and diagenesis in a sequence stratigraphic framework. Developments in Sedimentology, v. 67, p. 1-374.
- [3] Ahr, W.M (2008) Geology of carbonate reservoirs: The identification, description, and characterization of hydrocarbon reservoirs in carbonate rocks, John Wiley & Sons, Inc., 277 p.
- [4] Al-Aasm, I.S., Ghazban, F., Ranjbaran, M (2009) Dolomitization and related fluid evolution in the Oligocene-Miocene Asmari Formation, Gachsaran area, SW Iran: petrographic and isotopic evidence, Journal of Petroleum Geology, v. 32(3). p. 287-304.
- [5] Allahkarampour Dill, M., Seyrafian, A., Vaziri-Moghaddam, H (2010) The Asmari Formation, north of the Gachsaran (Dill anticline), southwest Iran: facies analysis, depositional environments and sequence stratigraphy, Carbonates and Evaporites, v. 25, p. 145-160.
- [6] Aqrabi, A.A.M., Keramati, M., Ehrenberg, S.N., Pichard, N., Moallemi, A., Svana, T., Darke, G., Dickson, J.A.D., and Oxtoby, N.H (2006) The origin of dolomite in the Asmari Formation (Oligocene-Lower Miocene), Dezful Embayment, SW Iran, Journal of Petroleum Geology, v. 29(4), p. 381-402.
- [7] Bragaud, B., Durlet, C., Deconinck, J-F., Vincent, B., Thierry, J., Trouiller, A (2009) The origin and timing of multiphase cementation in carbonates: Impact of regional scale geodynamic events on the Middle Jurassic Limestones diagenesis (Paris Basin, France), Sedimentary Geology, v. 222, p. 161-180.
- [8] Burchette, T.P., Wright, V.P (1992) Carbonate ramp depositional systems, Sedimentary Geology, v. 79, p. 3-57.
- [9] Daraei, M., Amini, A., Ansari, M (2014) Facies analysis and depositional environment study of the mixed carbonate-evaporite Asmari Formation (Oligo-Miocene) in the sequence stratigraphic framework, NW Zagros, Iran, Carbonates and Evaporites, DOI: 10.1007/s13146-014-0207-4.
- [10] Dickson, J.A.D (1965) A modified staining technique for carbonates in thin section. Nature, v. 205, 587 p.
- [11] Duggan, J.P., Mountjoy, E.W., Stasiuk, L.D (2001) Fault-controlled dolomitization at Swan Hills Simonette oil field (Devonian), deep basin west-central Alberta, Canada, Sedimentology, v. 48, p. 301-323.
- [12] Dunham, R.J (1962) Classification of carbonate rocks according to their depositional texture. In: Ham, W.E. (Ed.), Classification of Carbonate Rocks. A Symposium: The American Association of Petroleum Geologists Memoir, no. 1, p. 108-121.
- [13] Ehrenberg, S.N., Svaøna, T.A., Swart P.K (2008) Uranium depletion across the Permian-Triassic boundary in Middle East carbonates: Signature of oceanic anoxia, The

- Eocene boundary, *Palaeogeography, Palaeoclimatology, Palaeoecology*, v. 248, p. 145-168.
- [36] Schlager, W (2002) *Sedimentology and sequences stratigraphy of carbonate rocks*, Vrije Universiteit/ Earth and Life Sciences, Amsterdam, 146 p.
- [37] Scholle, P.A., Ulmer-Scholle, D.S (2003) *A Color Guide to the Petrography of Carbonate Rocks: Grains, textures, porosity, diagenesis*, The American Association of Petroleum Geologists, Oklahoma, 459 p.
- [38] Seyrafian, A (2000) Microfacies and depositional environments of the Asmari Formation, at Dehdez area (a correlation across central Zagros basin), *Carbonates and Evaporites*, v. 15(2), p. 121-129.
- [39] Shao, L., Wang, D., Cai, H., Wang, H., Lu, J., Zhang P (2011) Ramp facies in an intracratonic basin: A case study from the Upper Devonian and Lower Carboniferous in central Hunan, southern China, *Geoscience Frontiers*, v. 2(3), p. 409-419.
- [40] Taghavi, A.A., Mørk, A., and Emadi, M.A (2006) Sequence stratigraphically controlled diagenesis governs reservoir quality in the carbonate Dehluran Field, southwest Iran, *Petroleum Geoscience*, v. 12, p. 115-126.
- [41] Vaziri-Moghaddam, H., Kimiagari, M., Taheri, A (2006) Depositional environment and sequence stratigraphy of the Oligo-Miocene Asmari Formation in SW Iran, *Facies*, v. 52, p. 41-51.
- [42] Vaziri-Moghaddam, H., Seyrafian, A., Taheri, A., Motiei, H (2010) Oligocene-Miocene ramp system (Asmari Formation) in the NW of the Zagros basin, Iran: Microfacies, paleoenvironment and depositional sequence, *Revista Mexicana de Ciencias Geológicas*, v. 27(1), p. 56-71.
- [43] Watts, K.F., Blome, C.D (1990) Evolution of the Arabian carbonate platform margin slope and its response to orogenic closing of a Cretaceous ocean basin, Oman, in: Tucker, M.E., Wilson, J.L., Crevello, P.D., Sarg, J.R., Read, J.F., (Eds.), *Carbonate platforms: facies, sequences and evolution*, Blackwell Scientific Publications, The International Association of Sedimentologists, p. 291-323.
- [44] Wilson, M.E.J., Chambers, J. L.C., Manning, C., Nas, D.S (2012) Spatio-temporal evolution of a Tertiary carbonate platform margin and adjacent basinal deposits, *Sedimentary Geology*, v. 271-272, p. 1-27.
- [25] Mossadegh, Z.K., Haig, D.W., Allan, T., Adabi, M.H., Sadeghi, A (2009) Salinity changes during Late Oligocene to Early Miocene Asmari Formation deposition, Zagros Mountains, Iran, *Palaeogeography, Palaeoclimatology, Palaeoecology*, v. 272, p. 17-36.
- [26] Mountjoy, E.W., Marquez, X.M (1997) Predicting reservoir properties in dolomites: Upper Devonian Leduc buildups, Deep Alberta Basin. In: Kupecz, J.A., Gluyas, J., Bloch, S. (Eds.), *Reservoir Quality Prediction in Sandstones and Carbonates: American Association of Petroleum Geologists Memoir*, v. 69, p. 267-306.
- [27] Pomar, L (2001) Types of carbonate platforms: a genetic approach, *Basin Research*, v. 13, p. 313-334.
- [28] Ranjbaran, M., Fayazi, F., Al-Aasm, I (2007) Sedimentology, depositional environment and sequence stratigraphy of the Asmari Formation (Oligocene-Lower Miocene), Gachsaran area, SW Iran, *Carbonates and Evaporites*, v. 22(2), p. 135-148.
- [29] Read, J.F (1985) Carbonate platform facies models, *American Association of Petroleum Geologists*, 69(1), p. 1-21.
- [30] Romero, J., Caus, E., Rosell, J (2002) A model for the palaeoenvironmental distribution of larger foraminifera based on late Middle Eocene deposits on the margin of the South Pyrenean basin (NE Spain), *Palaeogeography, Palaeoclimatology, Palaeoecology*, v. 179, p. 43-56.
- [31] Ronchi, P., Ortenzi, A., Borromeo, O., Claps, M., Zempolich, W.G (2010) Depositional setting and diagenetic processes and their impact on the reservoir quality in the late Visean-Bashkirian Kashagan carbonate platform (Pre-Caspian Basin, Kazakhstan), *The American Association of Petroleum Geologists*, v. 94(9), p. 1313-1348.
- [32] Sahraeyan, M., Bahrami, M., Arzaghi, S (2013) Facies analysis and depositional environments of the Oligocene-Miocene Asmari Formation, Zagros Basin, Iran, v. 5(1), p. 103-112.
- [33] Saller, A.H., Pollitt, D., Dickson, J.A.D (2014) Diagenesis and porosity development in the First Eocene reservoir at the giant Wafra Field, Partitioned Zone, Saudi Arabia and Kuwait, *The American Association of Petroleum Geologists*, v. 98(6), p. 1185-1212.
- [34] Sarg, J.F (2001) The sequence stratigraphy, sedimentology, and economic importance of evaporite-carbonate transitions: a review, *Sedimentary Geology*, v. 140, p. 9-42.
- [35] Scheibner, C., Rasser, M.W., Mutti, M (2007) The Campo section (Pyrenees, Spain) revisited: Implications for changing benthic carbonate assemblages across the Paleocene-